УДК 551.72.550.93(470.5)

DOI: 10.24930/2500-302X-2025-25-5-1053-1073

U-Th-Pb (LA-ICP-MS) датировки цирконов из песчаников басинской свиты ашинской серии венда Южного Урала и возраст пород питающих провинций

Н. Д. Сергеева¹, Т. С. Зайцева², А. Б. Кузнецов², В. Н. Пучков¹, С. А. Дьякова¹, Б. М. Гороховский², Ю. В. Плоткина²

¹Институт геологии — обособленное структурное подразделение Федерального государственного бюджетного научного учреждения УФИЦ РАН, 450077, г. Уфа, ул. Карла Маркса, 16/2, e-mail: riphey@ufaras.ru ²Институт геологии и геохронологии докембрия РАН, 199034, г. Санкт-Петербург, наб. Макарова, 2, e-mail: z-t-s@mail.ru

Поступила в редакцию 04.10.2024 г., принята к печати 03.04.2025 г.

Объект исследования. Цирконы из песчаников басинской свиты ашинской серии венда в опорном разрезе по руч. Кукраук на Южном Урале. *Цель*. Определение возраста пород областей сноса по данным U-Th-Pb (LA-ICP-MS) датирования цирконовой кластики. Материалы и методы. Среди детритового циркона выделено три группы по окраске: бледно-розовые зерна преобладают (≈50%), а розовые и бесцветные зерна присутствуют в равной пропорции (≈20-30%). Циркон представлен преимущественно окатанными зернами и единичными кристаллами призматической формы. По данным катодолюминесценции, большинство зерен сохраняют следы зональности роста. Результаты. U-Th-Рb конкордантные возрасты 166 зерен циркона находятся в интервалах 996-1029, 1079-1110, 1152-1191, 1200-1234, 1250-1324, 1331-1370, 1416-1438, 1447-1557, 1573-1666, 1756-1806, 1824-1874, 1889-1979, 1987-2015, 2022-2074 и 2661-2729 млн лет. Отдельные зерна имеют конкордантные возрасты 579, 776, 2120, 2142, 2148, 2190, 2763, 2804, 2816, 2874, 2889, 2957, 3014 и 3203 млн лет. Выводы. В группе розовых зерен преобладает популяция циркона раннекарельского и архейского возраста, в бесцветных – раннерифейского, а в бледно-розовых – ранне- и среднерифейского. Среди зерен детритового циркона из песчаников басинской свиты присутствуют цирконы с датировками 776, 1350-1800, 2000-3200 млн лет, отвечающими возрасту местных уральских источников. Для обломочного циркона с датировками 996-1320 млн лет источники сноса среди местных питающих провинций не выявлены, но известны в пределах Свеко-Норвежской области на северо-западе Восточно-Европейской платформы, что позволяет рассматривать в качестве источников цирконовой кластики магматические породы гренвильского (950-1220 млн лет) Свеко-Норвежского орогена. Источником циркона с датировкой 579 млн лет, близкой к возрасту цирконов из туфовых прослоев в самой басинской свите, мог быть пепловый материал эксплозивной деятельности вулканов.

Ключевые слова: циркон, U-Th-Pb (LA-ICP-MS) датирование, басинская свита, песчаники, источники сноса, Южный Урал

Источник финансирования

Работа выполнена при финансовой поддержке РНФ, проект № 24-27-00311, https://rscf.ru/project/24-27-00311/, при использовании оборудования ЦКП АИРИЗ

U-Th-Pb (LA-ICP-MS) dating of zircons from sandstones of the Basu Formation of the Vendian Asha Series of the Southern Urals and the age of rocks in the distributive province

Nina D. Sergeeva¹, Tatiana S. Zaitseva², Anton B. Kuznetsov², Victor N. Puchkov¹, Svetlana A. Dyakova¹, Boris M. Gorokhovsky², Yulia V. Plotkina²

¹Institute of Geology – Subdivision of the UFRC, RAS, 16/2 Karl Marx st., Ufa 450077, Russia, e-mail: riphey@ufaras.ru

²Institute of Geology and Geochronology of the Precambrian, RAS, 2 Makarova emb., St. Petersburg 199034, Russia, e-mail: z-t-s@mail.ru

Для цитирования: Сергеева Н.Д., Зайцева Т.С., Кузнецов А.Б., Пучков В.Н., Дьякова С.А., Гороховский Б.М., Плоткина Ю.В. (2025) U-Th-Pb (LA-ICP-MS) датировки цирконов из песчаников басинской свиты ашинской серии венда Южного Урала и возраст пород питающих провинций. *Литосфера*, **25**(5), 1053-1073. https://doi.org/10.24930/2500-302X-2025-25-5-1053-1073. EDN: GNFCJD

For citation: Sergeeva N.D., Zaitseva T.S., Kuznetsov A.B., Puchkov V.N., Dyakova S.A., Gorokhovsky B.M., Plotkina Yu.V. (2025) U-Th-Pb (LA-ICP-MS) dating of zircons from sandstones of the Basu Formation of the Vendian Asha Series of the Southern Urals and the age of rocks in the distributive province. *Lithosphere (Russia)*, **25**(5), 1053-1073. (In Russ.) https://doi.org/10.24930/2500-302X-2025-25-5-1053-1073. EDN: GNFCJD

Received 04.10.2024, accepted 03.04.2025

Research subject. Zircon of sandstones of the Basu Formation, Asha Series, Vendian, in the reference section along the Kukrauk stream (Southern Urals). Aim. To determine the age of rocks in the provenance based on U-Th-Pb (LA-ICP-MS) dating of zircon clastics. Materials and methods. In terms of color, detrital zircon grains were divided into three groups. Pale pink grains predominate (about 50%), and pink and colorless grains are present in equal proportions (about 20-30%). Zircon is mainly represented by rounded grains and single grains of a prismatic shape. According to the cathodoluminescence data, most grains retain traces of zonation. Results. The U-Th-Pb concordant ages dates of 166 detrital zircon grains are predominantly in the time intervals of 996-1029, 1079-1110, 1152-1191, 1200-1234, 1250-1324, 1331-1370, 1416-1438, 1447-1557, 1573-1666, 1756-1806, 1824-1874, 1889-1979, 1987-2015, 2022-2074, and 2661-2729 Ma. Individual grains have concordant ages of 579, 776, 2120, 2142, 2148, 2190, 2763, 2874, 2804, 2816, 2889, 2957, 3014, and 3203 Ma. Conclusions. The group of pink grains is dominated by a population of zircon of the Early Karelian and Archaean age, in colorless grains - Early Riphean, and in pale pink grains - Early and Middle Riphean. Among the grains of detrital zircon from the sandstones of the Basu Formation, there are zircons from local Ural sources (776, 1350-1800, 2000-3200 Ma). For clastic zircon with ages of 996-1320 Ma, the sources of demolition among the local feeding provinces have not been identified; however, they are known within the Sveko-Norwegian area in the north-west of the East-European Platform. This allows us to consider the igneous rocks of the Grenville (950-1220 million years) Sveko-Norwegian orogen as sources of zircon clusters over this time interval. The source of zircons with a dating of 579 Ma, close to the age (573-577 Ma) of zircons from tuff layers in the Basu Formation itself, could be ash material from the explosive activity of volcanoes.

Keywords: zircon, U-Th-Pb (LA-ICP-MS) dating, Basu Formation, sandstones, provenance, Southern Urals

Funding information

The collection of materials and analytical works were funded by the grant of the Russian Science Foundation No. 24-27-00311, https://rscf.ru/project/24-27-00311/, when using the equipment of the SRF AIRES

ВВЕДЕНИЕ

Отложения ашинской серии распространены на Южном Урале в пределах Башкирского мегантиклинория преимущественно на западном и меньше на восточном крыльях структуры (Козлов, 1982; Беккер, 1988). По составу пород и характеру их напластования ашинская серия расчленена на бакеевскую (включая ее возрастные аналоги - толпаровскую и суировскую свиты западного крыла Башкирского мегантиклинория и кургашлинскую свиту восточного крыла структуры), урюкскую, басинскую, куккараукскую и зиганскую свиты. Мощность серии варьируется от 1200–1400 до 2600 м. На западном крыле мегантиклинория ашинская серия залегает с размывом на позднерифейских породах укской свиты, возраст глауконита которой древнее 690-660 млн лет (Зайцева и др., 2008). Нижний возрастной предел ашинской серии ограничен датировкой 642 ± 9 млн лет, полученной по глаукониту Rb-Sr методом (Зайцева и др., 2019) из песчаников бакеевской свиты основания венда. Верхняя граница венда определяется U-Pb возрастом циркона 548.2 ± 7.6 млн лет (Гражданкин и др., 2011) из туфа зиганской свиты, завершающей венд.

Выбор в качестве объекта исследования отложений басинской свиты не случаен: ее породы относят

к типично молассовым образованиям, которые завершают крупные тектонические циклы и фиксируют значительные перестройки в геологическом развитии территорий. На Южном Урале молассы в докембрии выделены в 50-е гг. ХХ в. М.И. Гаранем (1946). Позднее эти представления получили развитие в работах Н.С. Шатского (1960) и Б.М. Келлера (1973). Обоснование молассовой природы ашинских образований и детальное описание основных разрезов молассы проведены Ю.Р. Беккером (1968, 1988). К молассам Ю.Р. Беккер (1988) относил близкие к альпинотипным формации, которые образуются при размыве горных систем, возникших в результате замыкания геосинклинали.

В.Н. Пучков (2000) вопросы формирования орогенных (молассовых) комплексов рассматривал на основе современных представлений тектоники литосферных плит и плюм-тектоники. Новые представления о геодинамических процессах формирования молассы с учетом современных изотопно-геохронологических, минералогических и палеомагнитных данных привели к изменению стратиграфического объема молассовых формаций на Урале (Пучков, 2010; см также ссылки в этой работе). На Южном Урале к типично молассовым образованиям на западном крыле Башкирского мегантиклинория отнесены только отложения верхнего

венда (басинская, кукараукская и зиганская свиты), а не всей ашинской серии, по (Беккер, 1988). Судя по результатам литогеохимических исследований, в бакеевской свите преобладает нехарактерная для молассы кварцитовая компонента, тогда как песчаники вышележащих басинской и зиганской свит ашинской серии являются максимально петрохимически незрелыми образованиями во всем верхнедокембрийском разрезе Башкирского мегантиклинория (Маслов и др., 2010). Смена источников сноса в ашинское время, по сравнению с рифейским, отмечается и в изотопно-геохимическом составе тонкозернистой алюмосиликокластики (Маслов и др., 2022). Обоснована рифтогенная природа (Маслов и др., 2018б) образований аршинской серии на восточном крыле Башкирского мегантиклинория, ранее в ранге свиты относимой Ю.Р. Беккером (1988) к вендской молассе – орогенному комплексу).

Источником терригенной кластики в ашинское время традиционно рассматривались породы фундамента Восточно-Европейской платформы, находившиеся в то время на западе от палеобассейна, и местные уральские породы рифея (Олли, 1948; Гарань, 1948; Беккер, 1988), что опиралось на результаты анализа ассоциаций акцессорных минералов и данные альфа-свинцового датирования циркона (Козлов, 1982; Сергеева, 1986). Однако появление новых ID-TIMS (Willner et al., 2003) и LA-ICP-MS (Кузнецов и др., 2012) датировок обломочного циркона из песчаников ашинской серии показало наличие "молодого восточного" источника. Одним из наиболее вероятных источников мог быть метаморфический Белорецкий террейн, в котором, наряду с протерозойскими цирконами (1900–2000) млн лет), присутствовали эвгедральные цирконы с датировками 643–550 млн лет (Willner et al., 2003). Согласно мнению других исследователей, источником кластики для отложений ашинской серии был не фундамент Восточно-Европейской платформы, а породы метаморфического комплекса Кап Ривер, находящегося на Квинслендском краю Австралии (Кузнецов и др., 2012). Этот вывод сделан на основе сопоставления с помощью KS-теста возрастов циркона из песчаников басинской и куккараукской свит и одновозрастных им кварцитопесчаников комплекса Кап Ривер, при этом степень сходства и позволила предположить, "что Уральский край Балтики и Квинслендский край Австралии располагались в совместной композиции в Родинии до времени накопления ашинской серии включительно..." (Кузнецов и др., 2012, с. 79).

В нашей работе для определения возраста пород питающих провинций и реконструкции некоторых черт палеогеографии осадочного бассейна басинского времени проведено U-Th-Pb (LA-ICP-MS) датирование цирконовой кластики из песчаников этой свиты в опорном разрезе по руч. Кукраук.

БАСИНСКАЯ СВИТА ПО руч. КУКРАУК (СОСТАВ И СТРОЕНИЕ)

Впервые басинская свита (V_2bs) выделена А.И. Олли в 1940 г. со стратотипом по р. Басу на западном крыле Алатауского антиклинория, но наиболее представительный (мощностью около 900 м) разрез отложений свиты вскрыт по руч. Кукраук (рис. 1, точка 3), где по особенностям литологического состава свита расчленена (Козлов, 1982) на три толщи.

Нижняя толща (V_2bs_1) представлена полимиктовыми песчаниками с прослоями (толщиной от 1 до 8 м) алевролитов с более тонкими слоями аргиллитов, часто содержащих алевритовую примесь. Песчаники разнозернистые (от мелкозернистых до гравийных), плохо сортированные, серые, зеленовато-серые, иногда с розоватым оттенком, неравномерно-слоистые, часто косослоистые. В песчаниках присутствует единичная плоская галька (5×10×5 см) аргиллитов. Кластический материал (95–97 об. %) представлен кварцем – 25–50 об. %, слюдистыми минералами (мусковитом, хлоритом и биотитом) – от 5 до 10-12 об. %, плагиоклазом – от редких знаков до 3-5 об. %, микроклином, микроклин-пертитом – единичные знаки, обломками пород (метаморфические, осадочные и магматические разности) – от 30 до 45 об. %. Литокласты осадочных и метаморфических пород представлены кварцевыми песчаниками и алевролитами, по составу аналогичными песчаникам, кварцитами, филлитизированными глинистыми и железисто-глинистыми породами, сланцами кварцевыми, слюдисто- и реже железисто-кварцевыми. Отмечаются сланцы кремнистого, глинисто- и железисто-кремнистого состава. В псаммитах часто присутствуют бурые глинизированные разности вулканогенных пород и значительно реже зерна габбро-долеритов и жильные породы полевошпат-кварцевого состава. По межзерновым пространствам в песчаниках неравномерно развивается кальцит (от 1–5 до 25–35%), который корродирует обломочные зерна и иногда псевдоморфно замещает их. Мощность толщи 350 м.

Средняя толща (V_2 bs₂) сложена в основном полимиктовыми разнозернистыми песчаниками зеленовато-серыми, серыми, иногда с розоватым оттенком, плохо сортированными, с прослоями алевролитов, аргиллитов и редко гравелитов. Породы неравномерно-слоистые, иногда косослоистые, плитчатые. Слоистость в псаммитах четкая градационная. По составу, структурно-текстурным особенностям описываемые песчаники близки к псаммитам нижней толщи, но несколько отличаются количественным соотношением минералов и обломков пород. Содержание зерен кварца в псаммитах средней толщи колеблется от 25–35 до 60–65%, обломков пород – от 20–25 до 35–40%, количество

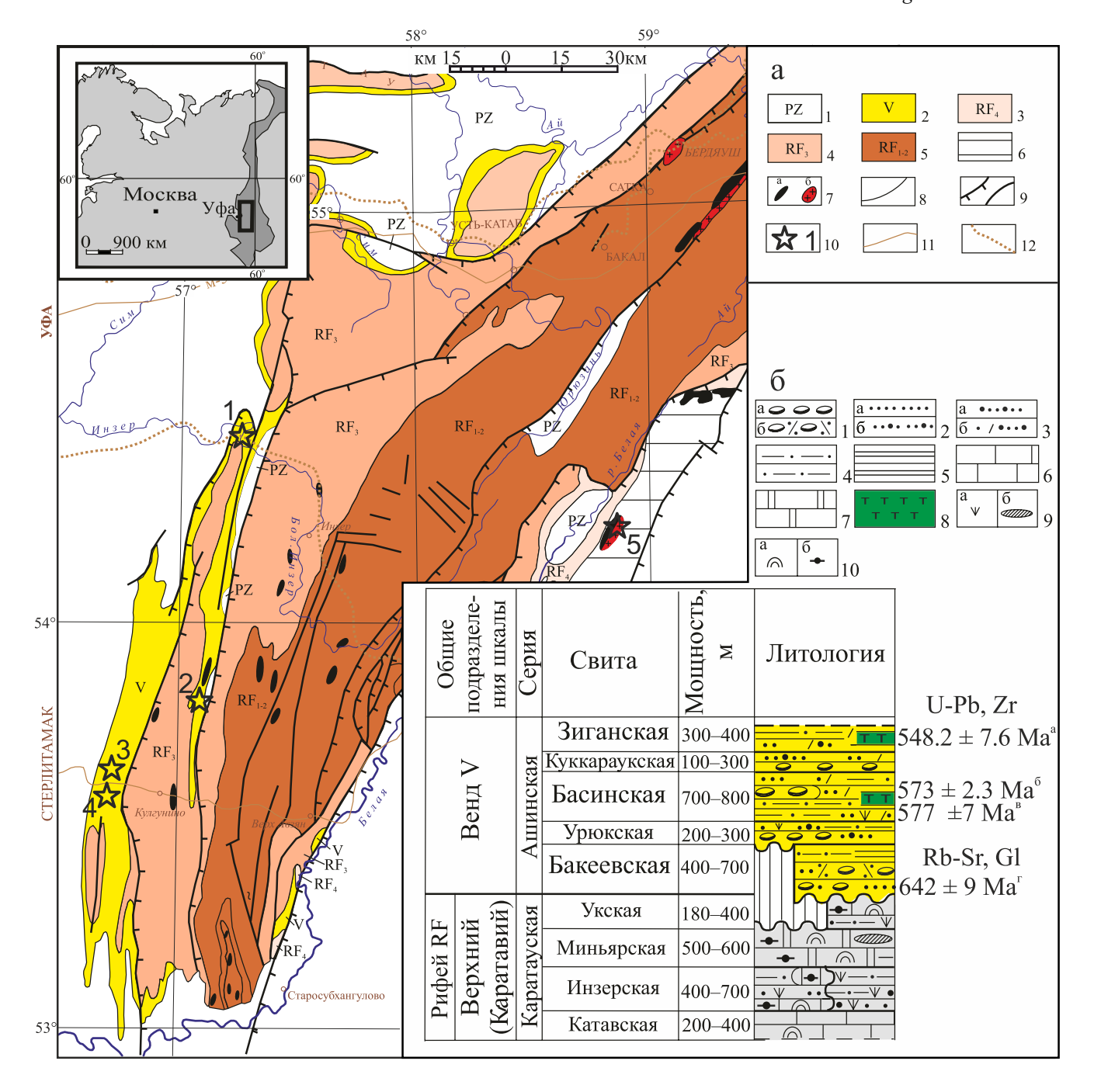


Рис. 1. Обзорная геологическая карта (а) и сводная литолого-стратиграфическая колонка образований верхнего рифея и венда (б) западного крыла Башкирского мегантиклинория (Сергеева и др., 2019) с дополнениями.

- а. 1–5 нерасчлененные отложения: 1 палеозоя (PZ), 2 венда (V), 3 завершающего (RF₄), 4 верхнего (RF₃) и 5 нижнего—среднего (RF₁₋₂) рифея; 6 Уралтауский метаморфический комплекс; 7 магматические породы: габбро (а) и граниты (б); 8 геологические границы; 9 основные тектонические нарушения; 10 местоположение разрезов: 1 руч. Агарды, правый приток р. Инзер; 2 р. Зилим, д. Толпарово; 3 руч. Кукраук; 4 по "новой" автодороге с. Макарово с. Кулгунино; 5 Барангуловский габбро-гранитный комплекс; 11 автодороги; 12 железные дороги.
- б. 1 конгломераты полимиктовые (а) и тиллиты (б); 2, 3 песчаники: 2 кварцевые (а) и полевошпат-кварцевые (б), 3 аркозовые (а) и полимиктовые (б); 4 алевролиты; 5 аргиллиты; 6 известняки; 7 доломиты; 8 туфы; 9 глауконит (а) и кремни (б); 10 строматолиты (а), микрофитолиты (б).

Изотопные данные: U-Pb – датировки по циркону из туфов зиганской ("Гражданкин и др., 2011), басинской свит ("Разумовский и др., 2020; "Рязанцев и др., 2022, 2023) и Rb-Sr возраст по глаукониту бакеевской свиты ("Зайцева и др., 2019).

Fig. 1. Overview geological map (a) and general lithological-stratigraphic column (δ) of the Upper Riphean and Vendian of the western limb of the Bashkirian meganticlinorium (Sergeeva et al., 2019), with additions.

a. 1–5 undifferentiated deposits: $1-Paleozoic (PZ) 2-Vendian (V); 3-Terminal (RF_4), 4-Upper (RF_3) and 5-Lower and Middle (RF_{1-2}) Riphean; 6-Uraltau metamorphic complex; 7-magmatic rocks: gabbro (a) and granites (6); 8-geological boundaries; 9-tectonic thrusts and faults; <math>10-locations$ of cross-section: 1-r. Agardy, right tributary of the r. Inzer; 2-r. Zilim, v. Tolparovo; 3-r. Kukrauk; 4-on the "new" highway v. Makarovo – v. Kulgunino; 5-Barangul gabbro-granite complex; 11-highways; 12-railroads.

6. 1 – conglomerates polymictic (a) and tillites (6); 2, 3 – sandstones: 2 – quartz (a) and feldspar-quartz (6), 3 – arkosic (a) and polymictic (6); 4 – siltstones; 5 – argillites; 6 – limestones; 7 – dolomites; 8 – tuffs; 9 – glauconite (a) and cherts (6); 10 – stromatolites (a) and microphytolites (6).

Isotope data: U-Pb – dating of zircon from tuffs of the Zigan (aGrazhdankin et al., 2011), Basu (aRazumovskii et al., 2020; aRyazantsev et al., 2022, 2023) Formations and Rb-Sr age of glauconite of the Bakeevo Formation (Zaitseva et al., 2019).

глинизированных бурых обломков вулканогенных пород основного и реже кислого состава со сферолитовыми структурами несколько выше, чем в песчаниках нижней толщи. В обломках также присутствуют катаклазиты, милониты и литокласты гранитоидного состава. Песчаники средней толщи слабо кальцитизированы (3–7 об. %, редко 10 об. %). Мощность средней толщи 350 м.

Верхняя толща (V_2bs_3) мощностью 200 м представлена неравномерным чередованием алевролитов (преобладают), песчаников и аргиллитов, по составу, структурно-текстурным особенностям и внешнему облику близких к подстилающим породам.

Возраст басинской свиты надежно определен в последние годы U-Pb методом (SHRIMP-II) по циркону из туфов в двух точках: 1) 573 ± 2 млн лет (Разумовский и др., 2020) и 573 ± 2 млн лет (Рязанцев и др., 2022) в выемке по "новой" автодороге с. Макарово – с. Кулгунино (см. рис. 1, точки 3 и 4); 2) 577 ± 7 млн лет (Рязанцев и др., 2022) на левобережье р. Зилим восточнее с. Толпарово (см. рис. 1, точка 2). Эти датировки отвечают не только времени формирования басинской свиты, но и проявлению тектономагматических процессов.

Для уточнения информации о возрасте размывавшихся пород и местоположении питающих провинций вендского бассейна с помощью U-Th-Pb (LA-ICP-MS) датирования цирконовой кластики мы отобрали из коллекции В.И. Козлова две пробы песчаника басинской свиты в опорном разрезе по руч. Кукраук (см. рис. 1а, точка 3).

МАТЕРИАЛ И МЕТОДЫ ИЗУЧЕНИЯ

При определении источников сноса обломочного материала используются различные (петрографические, минералогические, литогеохимические и др.) методы изучения отложений, позволяющие реконструировать состав пород области сноса (петрофонд). Достаточно просто этот вопрос решается исходя из литолого-петрографического состава галек конгломератов и обломков пород в песчаниках (Козлов, 1982; Беккер, 1968, 1988; Сергеева, 1986). Однако литолого-петрографический состав псаммитового материала не дает ответа на вопрос о возрасте размываемых пород, поэтому в геоло-

гической практике все чаще используется U-Th-Pb (LA-ICP-MS) метод датирования детритовых цирконов. Несмотря на широкий спектр датировок, этот метод позволяет ограничить нижний возрастной предел осадочных пород, а также сделать предположение о возрасте возможных источников цирконовой кластики для осадочных образований.

Из двух крупно-объемных проб (№ 17 и 16) песчаников басинской свиты (коллекция В.И. Козлова, ИГ УФИЦ РАН, г. Уфа) выделены цирконы (рис. 2). Проба № 17 (N 53° 595353′ и Е 56° 721147′) отобрана на правом берегу руч. Кукраук в 5.4 км от его устья, проба №16 (N 53° 593179′ и Е 56° 795076′) — в 150 м от моста через р. Красная по "старой" автодороге с. Макарово— с. Кулгунино (см. рис. 2).

Пробы измельчены до обломков <0.3 мм, отмыты в проточной воде до серого шлиха. Далее разделение минералов по удельному весу в тяжелой жидкости (бромоформ), магнитная и электромагнитная сепарации проведены по общепринятой методике (Кухаренко, 1961; Ляхович, 1981). Монофракция цирконов отбиралась визуально под бинокулярным микроскопом МБС-2. Для проведения U-Th-Pb геохронологических исследований цирконы проб № 17 и 16 объединены в одну пробу U17-16, но различные по окраске цирконы составляли в ней отдельные монофракции.

Среди выделенных зерен циркона в басинской свите присутствуют бледно-розовые (около 50%), розовые (около 30%) и почти бесцветные (около 20%) разности. Кроме того, отмечаются редкие зерна темно-розовых, малиново-красных и молочно-белых (малаконы) цирконов. Это распределение показывает, что для отложений ашинской серии западного крыла Башкирского мегантиклинория типоморфными являются бледно-розовые цирконы (Козлов, 1982; Сергеева, 2014).

При минералогических исследованиях шлихов одним из характерных коррелятивных признаков циркона в терригенных породах является его окраска. Анализируя разные по цвету зерна, авторы предполагали получить информацию о связи между возрастом и окраской цирконов. По данным спектроскопических исследований установлена зависимость между прозрачностью/цветом и микродефектностью кристаллической решетки, а также составом и содержанием изоморфных при-

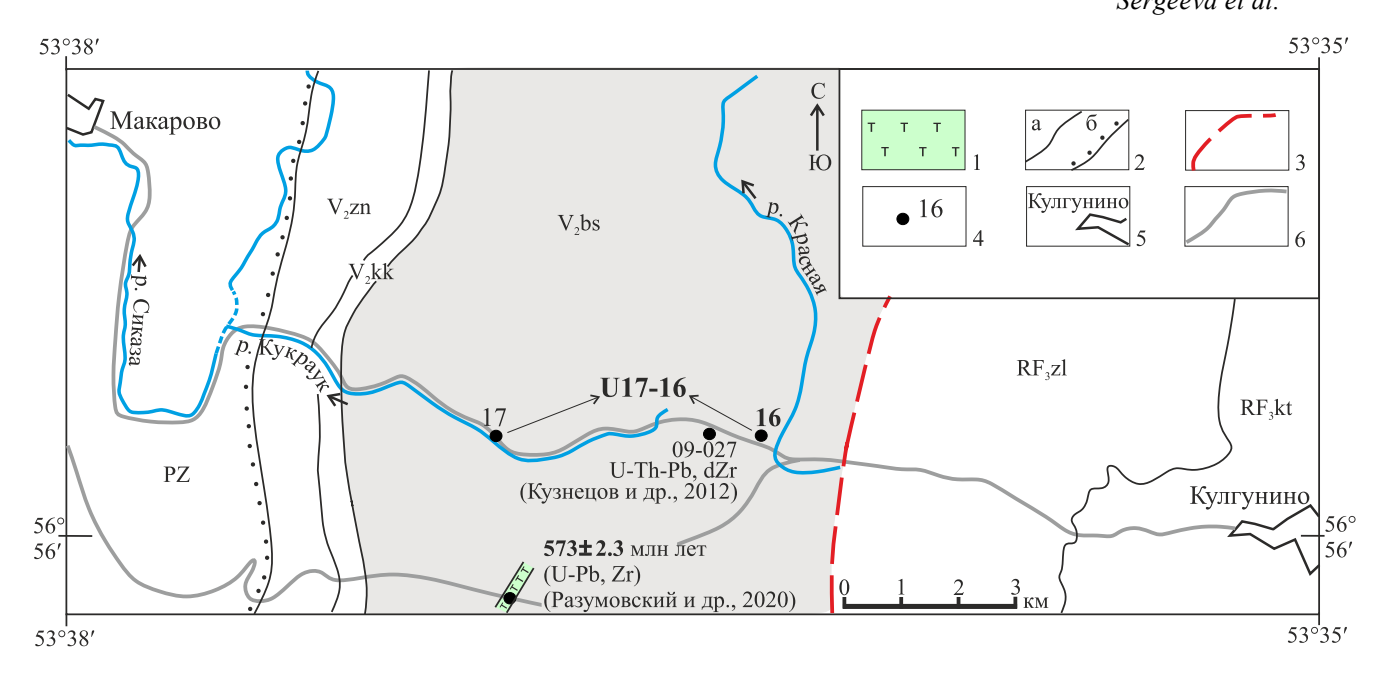


Рис. 2. Схематическая геологическая карта бассейна руч. Кукраук с точками отбора проб на детритовый циркон (dZr) из песчаников (U17-16) басинской свиты.

1 — туф; 2 — геологические границы: согласные (а) и несогласные (б); 3 — тектонические контакты; 4 — местоположение проб; 5 — населенные пункты; 6 — автодороги. Стратиграфические подразделения: RF_3 — верхний рифей, V_2 — верхний венд, PZ — палеозой. Свиты: z1 — зильмердакская, k1 — катавская, k2 — басинская, k2 — кукараукская, k3 — зиганская. Обломочный циркон (dZr) из песчаников: пр. 17 и d — коллекция В.И. Козлова, проба d — d — данные (Кузнецов и др., d —

Fig. 2. Schematic geological map of the r. Kukrauk basin with sampling points for detrital zircon (dZr) from sand-stones (U17-16) of the Basu Formation.

1 – tuff; 2 – geological boundaries: conformable (a) and unconformable (6); 3 – tectonic contacts; 4 – sample locations; 5 – settlements; 6 – highways. Stratigraphic units: RF_3 – Upper Riphean, V_2 – Upper Vendian, PZ – Paleozoic. Suites: zl – Zilmerdak, kt – Katav, bs – Basu, kk – Kukarauk, zn – Zigan.

Detrital zircon (dZr) from sandstones: samples 17 and 16 – collection of V.I. Kozlova, sample 09-027 – data (Kuznetsov et al., 2012). Magmatogene zircon (Zr) from tuffs (Razumovskii et al., 2020).

месей (Краснобаев и др., 1981; Nicholas, 1967; Stiebler et al., 1992; Cappelletti et al., 2005). В частности, максимальное содержание радиоактивных элементов (Тh и U) установлено в цирконах темно-розовой, малиново-красной и розовой окраски (Вотяков и др., 1985; Краснобаев и др., 1988).

Детритовые цирконы из песчаников басинской свиты представлены хорошо окатанными зернами округлой, эллипсоидальной и неправильной формы, отмечаются кристаллы цирконового типа. Размеры зерен варьируются от 0.07×0.07 до 0.25×0.35 мм. По результатам электронной микроскопии в режиме вторичных электронов и катодолюминесценции в цирконах можно наблюдать ядра обычно округлой формы, реже призматического очертания, последние иногда сохраняют следы зональности или трещиноватости (рис. 3). Размеры ядер в цирконах значительно варьируются: они могут превышать размеры оболочки и наоборот.

В цирконах распространены газово-жидкие и минеральные включения, среди которых можно выделить первичные и вторичные, последние приурочены к трещинкам или границе раздела ядрооболочка и проявляются в виде точечных обособлений. Формы выделения и ориентировка включений в цирконах весьма разнообразны. Преобладающим является игольчатый тип включений (вытянутые каналы, иглообразные и нитевидные обособления). Включения могут быть сосредоточены в центральной или периферийной части зерна, а также располагаться асимметрично. Нередко в цирконах можно наблюдать "зонарное строение", обусловленное чередованием двупреломляющих и изотропных зон. Зонарное строение кристаллов особенно характерно для гипабиссальных гранитоидов (Краснобаев, 1986; Hoskin, Schaltegger, 2003; Corfu et al., 2003; Rubatto, 2017), что свидетельствует об источнике подобных цирконов для песчаников басинской свиты.

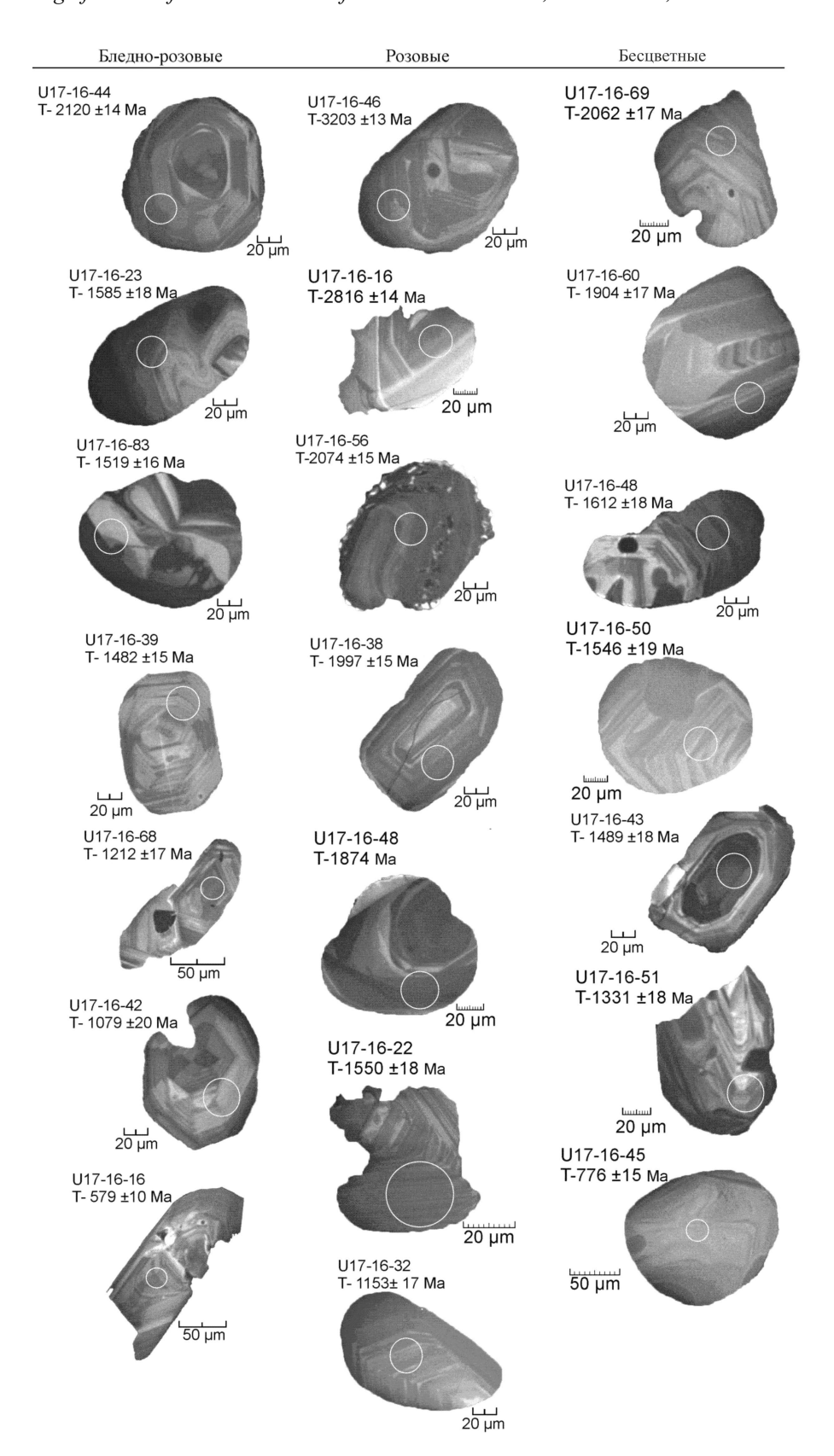


Рис. 3. Микроморфология и внутреннее строение кристаллов циркона.

Снимки получены с помощью сканирующего электронного микроскопа TESCAN VEGA3 в режиме вторичных электронов и катодолюминесценции. Кружками обозначены точки, где проводились U-Th-Pb измерения. Цифры после номера пр. U17-16-44 — номер анализа. T - 2120 \pm 14 Ma — U-Th-Pb конкордантный возраст, млн лет.

Fig. 3. Micromorphology and internal structure of zircon crystals.

The images were obtained by scanning electron microscope TESCAN VEGA3 in secondary electron and cathodoluminescence mode. Points of U-Th-Pb dating are shown by circles. The numbers after the sample number U17-16-44 are the analysis number. T-2120 \pm 14 Ma - U-Th-Pb concordant age.

U-Th-Pb (LA-ICP-MS) ИЗОТОПНЫЕ ДАННЫЕ

Цирконовые навески пр. U17-16, для которых проведены U-Th-Pb изотопно-геохронологические исследования, включали три типа детритовых цирконов по окраске: бледно-розовые (преобладают), розовые и практически бесцветные зерна. Разделение цирконов проводилось визуально под бинокулярным микроскопом.

Методика. Изотопное U-Th-Pb (LA-ICP-MS) датирование цирконов выполнено в ИГГД РАН на ICP MS ELEMENT XR, оснащенном системой лазерной абляции NWR-213, по методике, описанной в работе (Ковач и др., 2018). В целях контроля качества данных использованы стандартные цирконы Harvard 91500 и Plešovice, для которых получены конкордантные значения возраста 1071 ± 10 и 329 ± 8 млн лет. U-Th-Pb изотопные отношения рассчитаны в программе GLITTER 4.0 GEMOC (Van Achterbergh et al., 2001). Поправки на обычный свинец введены с помощью программы ComPb (Anderson, 2002). Расчет конкордантных возрастов (Concordia Ages) выполнен в программе IsoplotR (Vermeesch, 2018). Только конкордантные оценки (степень дискордантности <5%) возраста приняты во внимание при построении графиков относительной плотности вероятности и расчете максимумов возрастов (PeakAges) (Gehrels, 2012, 2014, Spencer et al., 2016).

Цирконовые монофракции пр. U17-16 исследованы методами сканирующего электронного микроскопа TESCAN VEGA3 в режиме вторичных электронов и катодолюминесценции. Все три типа цирконов по окраске имеют близкие черты внутреннего строения зерен (см. рис. 3), в большинстве которых можно наблюдать тонкую осцилляторную зональность и хорошо проявленную секториальность, а также включения и ядра различной конфигурации.

Из пр. U17-16 проанализировано 179 зерен циркона и получено 166 конкордантных оценок возраста. Результаты U-Th-Pb (LA-ICP-MS) датирования детритового циркона приведены в табл. 1.

Возрасты детритовых цирконов (см. табл. 1, 2) находятся преимущественно во временных интервалах 996–1029, 1079–1110, 1152–1191, 1200–1234, 1250–1324, 1331–1370, 1416–1438, 1447–1557, 1573–1666, 1756–1806, 1824–1874, 1889–1979, 1987–2015, 2022–2074 и 2661–2729 млн лет. Отдельные зерна имеют конкордантные возрасты 579, 776, 2120, 2142, 2148, 2190, 2763, 2804, 2816, 2874, 2889, 2957, 3014 и 3203 млн лет.

На рис. 4а приведены графики относительной плотности вероятности распределения возрастов как для пробы в целом, так и для каждой разновидности циркона (бледно-розовые, розовые и бесцветные).

На кривой относительной вероятности возрастов получены пики около 1002 (n = 3), 1084 (n = 3), 1163 (3), 1212 (n = 12), 1318 (n = 3), 1504 (n = 56), 1602 (n = 8), 1788 (n = 9), 1865 (n = 5), 1930 (n = 7), 1995 (n = 7), 2032 (n = 12), и 2695 (n = 5) млн лет (см. рис. 4a, $7a6\pi$. 2).

Ранее в этом же разрезе получены U-Pb-изотопные датировки (LA-ICP-MS) детритового циркона из песчаников басинской (проба 09-027) и куккараукской (проба 09-041) свит (Кузнецов и др., 2012). Из обеих проб датировано по 80 зерен и только 78 анализов из одной и 57 из другой с достаточной (10%-й) степенью дискордантности приняты к рассмотрению. Возрастные характеристики детритовых цирконов из пр. 09-027 басинской свиты лежат в достаточно близких пределах от 755 до 2869 млн лет. Однако в новой пробе U17-16, где проанализировано в два раза большее количество зерен циркона (166 конкордантных значений возраста), временной диапазон источников сноса обломочного материала оказался значительно шире: в пробе присутствуют зерна с архейскими датировками древнее 2900 млн лет и одно молодое зерно с поздневендским возрастом -579 млн лет (см. табл. 1).

ИСТОЧНИКИ ЦИРКОНОВОЙ КЛАСТИКИ

Первичным источником цирконовой кластики в основном являются магматические породы, в которых, собственно, и образуются цирконы. В качестве источников первичной цирконовой кластики для отложений басинской свиты могут рассматриваться цирконы из рифейских магматических пород (см. рис. 4б), надежно датированных по циркону и бадделеиту. На современной поверхности денудации эти магматические образования представлены интрузивными массивами (Бердяушским – 1410–1360 млн лет (Краснобаев и др., 2011; Ронкин и др., 2005), Ахмеровским – (1413 ± 46) – (1381 ± 23) млн лет (Краснобаев и др., 2008)) и вулканогенными комплексами (навышским трахибазальтовым – 1752 млн лет, машакским риолит-базальтовым – 1350–1386 млн лет и игонинским метабазальтовым – 707–732 млн лет). Важным источником цирконовой кластики для басинских осадков также могли послужить метаморфические породы Тараташского метаморфического комплекса архей-

Table 1. Results of U-Th-Pb isotope (LA-ICP-MS) dating of detrital zircon grains from sandstones of the Basu Formation of Upper Vendian (sample U17-16, types of zircon by color: U17-16-1 – light pink, U17-16-2 – pink, U17-16-3 – colorless) Габлица 1. Результаты изотопного U-Th-Pb (LA-ICP-MS) датирования зерен детритового циркона из песчаников басинской свиты верхнего венда (пр. U17-16, типы циркона по окраске: U17-16-1 – бледно-розовые, U17-16-2 – розовые, U17-16-3 – бесцветные)

lα		4	16	16	15	4	4	16	13	15	15	16	15	15	10	18	13	15	15	16	4	18	15	15	15	15	15	91	15	15	4
CA		2763	1513	1532	2062	2015	2039	1200	2683	1438	1610	1234	1782	1790	579	1029	2705	1313	1501	1191	2022	1585	1487	1557	1494	1477	1476	1231	1432	1550	1929
	±1σ	43	56	26	34	32	33	20	41	24	27	21	59	59	10	18	41	22	25	20	32	27	25	26	24	24	24	21	24	25	30
свинец)	206 Pb /238U	2760	1513	1529	2061	2012	2036	1200	2682	1439	1608	1236	1781	1790	625	1031	2703	1314	1500	1190	2021	1585	1486	1554	1495	1477	1476	1231	1432	1547	1929
ін лет ычный	±Ισ	19	16	16	17	16	16	13	18	15	15	13	16	16	∞	4	18	41	41	13	16	18	15	15	41	15	41	13	41	15	16
Возраст, млн лет (с коррекцией на обычный свинец)	207 Pb /235U	2762	1513	1530	2062	2014	2037	1200	2683	1438	1609	1236	1782	1790	579	1030	2704	1314	1501	1190	2022	1585	1486	1555	1495	1477	1476	1231	1432	1548	1929
корре	±1σ	14	16	16	15	4	4	16	13	15	15	16	15	15	18	18	13	15	15	16	14	18	15	15	15	15	15	16	15	15	41
3)	²⁰⁷ Pb/ ²⁰⁶ Pb	2763	1513	1532	2062	2015	2039	1200	2683	1438	1610	1234	1782	1790	579	1029	2705	1313	1501	1191	2022	1585	1487	1557	1494	1477	1476	1231	1432	1550	1929
	±1σ	0.01034	0.00513	0.00517	0.00724	0.00686	0.00695	0.00383	99600.0	0.00469	0.00531	0.00395	0.00595	0.00598	0.00176	0.00330	0.00975	0.00416	0.00482	0.00373	0.00678	0.00542	0.00479	0.00507	0.00479	0.00476	0.00473	0.00387	0.00457	0.00493	0.00631
я зинец)	206 pb /238U	0.53451	0.26461	0.26766	0.37683	0.36636	0.37150	0.20460	0.51604	0.25009	0.28332	0.21143	0.31830	0.32000	0.09389	0.17347	0.52084	0.22608	0.26203	0.20274	0.36831	0.27864	0.25925	0.27261	0.26099	0.25756	0.25728	0.21039	0.24876	0.27123	0.34875
енные отношения ей на обычный свинец)	±lσ	0.27885	0.06958	0.06983	0.12929	0.11782	0.12072	0.04288	0.24457	0.05941	0.07374	0.04470	0.08999	0.09084	0.01467	0.03678	0.25228	0.04908	0.06250	0.04140	0.11712	0.08555	0.06300	0.07024	0.06175	0.06198	0.06068	0.04371	0.05699	0.06744	0.10438
Измеренные эрекцией на о	207 Pb /235U	14.18013	3.43805	3.51302	6.61618	6.26629	6.43806	2.25991	13.04284	3.12311	3.87739	2.37636	4.78174	4.82892	0.76787	1.75880	13.33812	2.64591	3.38327	2.22896	6.32309	3.76318	3.32248	3.62567	3.35753	3.28321	3.27855	2.36072	3.09803	3.59358	5.68400
Измер (с коррекци	±Ισ	0.00168	0.00084	0.00084	0.00110	0.00104	0.00105	0.00068	0.00154	0.00077	0.00084	0.00068	0.00091	0.00092	0.000050	0.00067	0.00156	0.00070	0.00077	9900000	0.00103	0.00098	0.00078	0.00082	0.00077	0.00077	0.00076	0.00067	0.00074	0.00080	0.00096
	²⁰⁷ Pb/ ²⁰⁶ Pb	0.19241	0.09424	0.09519	0.12734	0.12405	0.12569	0.08011	0.18331	0.09057	0.09926	0.08152	0.10896	0.10945	0.05932	0.07354	0.18574	0.08488	0.09364	0.07974	0.12451	0.09795	0.09295	0.09646	0.09331	0.09246	0.09242	0.08138	0.09032	0.09610	0.11821
U/Th		1.70	0.87	0.59	2.76	1.82	3.80	6.27	1.23	1.79	0.67	3.13	3.34	3.48	1.78	2.15	3.29	4.17	3.48	2.52	1.26	1.59	1.51	0.62	2.88	2.39	1.29	5.27	3.52	1.09	3.29
Точка	анализа	U17-16-1-01	U17-16-1-02	U17-16-1-03	U17-16-1-04	U17-16-1-05	U17-16-1-06	U17-16-1-08	U17-16-1-09	U17-16-1-10	U17-16-1-11	U17-16-1-12	U17-16-1-13	U17-16-1-15	U17-16-1-16	U17-16-1-17	U17-16-1-18	U17-16-1-19	U17-16-1-20	U17-16-1-21	U17-16-1-22	U17-16-1-23	U17-16-1-25	U17-16-1-26	U17-16-1-27	U17-16-1-28	U17-16-1-29	U17-16-1-30	U17-16-1-31	U17-16-1-33	U17-16-1-35
ž i	.ii .ii	-	7	ю	4	S	9	7	∞	6	10	11	12	13	4	15	16	17	18	19	20	21	22	23	24	25	26	27	28	59	30

Таблица 1. Продолжение Table 1. Continuation

(с коррекцией на обычный свинец) $\pm 1\sigma$ $207Pb/238U$ $\pm 1\sigma$ $206Pb/238U$	ные отношения на обычный сві т			l D	±Ισ) 207 Pb /206 Pb	с корр ±1σ	Возраст, млн лет (с коррекцией на обычный свинец) $ = 1 \sigma \left[\begin{array}{c c} 207 pb/235 U & \pm 1 \sigma \end{array} \right] ^{206} pb/238 $	ли лет бычный ±1σ	свинец) 206 р b/238U	#1a	CA	lα
0.00078	1	3.47386	0.06486	0.26624	0.00484	1521	15	1521	15	1522	25	1521	15
0.00068 1.	- i	1.89807	0.03904	0.18257	0.00337	1079	17	1080	4	1081	18	1079	17
	5.3	5.33370	0.09979	0.3375	0.00614	1874	4	1874	16	1875	30	1874	4
	3.3	3.30387	0.06165	0.25846	0.00469	1482	15	1482	15	1482	24	1482	15
	15.9	15.92933	0.29520	0.56104	0.01023	2874	13	2873	18	2871	42	2874	13
	2.32	1723	0.04336	0.2085	0.00378	1220	16	1221	13	1221	20	1220	16
_	1.88	1.88336	0.04434	0.18117	0.00346	1079	20	1075	16	1073	19	1079	20
	2.22	797	0.04151	0.20251	0.00367	1187	91	1188	13	1189	20	1187	16
	7.07	539	0.13044	0.38986	0.00707	2120	4	2121	16	2122	33	2120	4
0.00085 3.20112	3.201	112	0.06780	0.25364	0.00501	1458	17	1457	16	1457	26	1458	17
0.00072 2.29504	2.295	040	0.04657	0.20664	0.00404	1210	17	1211	4	1211	22	1210	17
0.00086 3.76712	3.767	12	0.07410	0.27880	0.00542	1586	16	1586	16	1585	27	1586	16
_	3.843	66	0.07579	0.28203	0.00549	1603	16	1602	16	1602	28	1603	16
0.00084 3.44091	3.440	91	0.06908	0.26461	0.00517	1514	16	1514	16	1513	26	1514	16
$0.00120 \mid 7.63405$	7.6340	S	0.15061	0.40408	0.00787	2190	15	2189	18	2188	36	2190	15
0.00099 5.2092	5.2092	_	0.10237	0.33324	0.00648	1854	15	1854	17	1854	31	1854	15
$0.00100 \mid 5.22423$	5.2242	8	0.10418	0.33392	0.00652	1856	15	1857	17	1857	32	1856	15
$0.00089 \mid 3.31912$	3.3191	~	0.07306	0.25905	0.00517	1486	17	1486	17	1485	56	1486	17
	4.7321	_	0.09327	0.31669	0.00616	1772	15	1773	17	1774	30	1772	15
0.00106 5.98414	5.9841	4	0.11753	0.35800	96900.0	1974	15	1974	17	1973	33	1974	15
	1.985]	<u></u>	0.04010	0.18805	0.00369	1110	17	1110	4	1111	20	1110	17
0.00083 3.42794	3.427	4	0.06789	0.26403	0.00517	1511	16	1511	91	1510	56	1511	16
	9/0.9	76	0.11895	0.36106	0.00705	1987	15	1987	17	1987	33	1987	15
	2.322	86	0.04561	0.20811	0.00406	1220	17	1219	4	1219	22	1220	17
	4.776	0/	0.09626	0.31799	0.00625	1782	91	1781	17	1780	31	1782	16
	6.40	682	0.12659	0.37091	0.00726	2033	15	2033	17	2034	34	2033	15
0.00075 2.61894	2.618	94	0.05218	0.22465	0.00440	1305	16	1306	15	1306	23	1305	91
0.00072 2.27580	2.27	280	0.04612	0.20509	0.00403	1209	17	1205	4	1203	22	1209	17
$0.00071 \mid 2.30194$	2.30	194	0.04546	0.20706	0.00405	1212	17	1213	4	1213	22	1212	17
0.00084 2.99277	2.99		0.06400	0.24235	0.00482	1416	17	1406	91	1399	25	1416	17
0.00084 3.47973	3.47	973	0.07022	0.2664	0.00523	1523	91	1523	91	1523	27	1523	16
0.00160 13.	13.	13.17114	0.25646	0.51814	0.00997	2693	— 4	2692	18	2691	42	2693	4
0.00076 2.7	7	2.79871	0.05510	0.23410	0.00451	1354	16	1355	15	1356	24	1354	16
0.00083 3.3	ď	3.58180	0.07004	0.27098	0.00522	1545	16	1546	16	1546	26	1545	16
$0.00075 \mid 2.75019$;												,

Таблица 1. Продолжение Table 1. Continuation

Таблица 1. Продолжение Table 1. Continuation

lα		4	15	41	81	17	81	16	15	16	16	15	16	15	16	17	15	15	16	16	15	16	16	17	17	15	13	16	15	4	15	15	15	17	18	8
CA		2816	1995	2661	1154	1216	1550	1666	1989	1889	1934	2068	1533	2072	1824	1153	2142	1998	1547	1794	1997	1477	1370	1206	1271	1934	3203	1802	1874	2707	2022	1990	2074	1227	1484	1401
	±1α	44	33	42	20	22	27	28	33	32	33	34	27	34	31	20	35	34	26	31	34	26	24	22	23	33	49	31	32	43	34	33	34	22	28	ć
свинец)	$^{206}{ m Pb}/^{238}{ m U}$	2819	1996	2660	1152	1217	1548	1666	1988	1889	1937	2066	1532	2071	1828	1154	2144	1997	1543	1797	1997	1477	1370	1207	1271	1936	3205	1802	1876	2708	2020	1992	2071	1230	1483	1400
лн лет ычный	±1α	18	17	18	14	15	18	16	17	17	17	17	16	17	17	14	17	18	15	17	17	16	15	41	41	17	19	17	17	19	18	17	17	15	16	17
Возраст, млн лет (с коррекцией на обычный свинец)	²⁰⁷ Pb / ²³⁵ U	2817	1996	2661	1153	1217	1549	1666	1989	1889	1935	2067	1532	2071	1826	1153	2143	1998	1545	1795	1997	1477	1370	1206	1271	1935	3204	1802	1875	2708	2021	1661	2073	1229	1483	1700
коррек	±1α	4	15	41	18	17	18	16	15	16	16	15	16	15	16	17	15	15	16	16	15	16	16	17	17	15	13	16	15	41	15	15	15	17	18	18
3)	²⁰⁷ Pb/ ²⁰⁶ Pb	2816	1995	2661	1154	1216	1550	1666	1989	1889	1934	2068	1533	2072	1824	1153	2142	1998	1547	1794	1997	1477	1370	1206	1271	1934	3203	1802	1874	2707	2022	1990	2074	1227	1484	1401
	±Ισ	0.19878	0.12267	0.18085	0.07827	0.08076	0.09610	0.10231	0.12226	0.11558	0.11849	0.12777	0.09524	0.12806	0.11151	0.07826	0.13328	0.12285	0.09597	0.10965	0.12281	0.09247	0.08743	0.08038	0.08307	0.11852	0.25292	0.11018	0.11464	0.18599	0.12455	0.12233	0.12823	0.08123	0.00539	0.00545
	$^{206}{ m Pb}/^{238}{ m U}$	0.01052	0.00695	0.00981	0.00380	0.00405	0.00542	0.00568	0.00697	0.00671	0.00688	0.00737	0.00526	0.00736	0.00640	0.00380	0.00763	0.00709	0.00521	0.00634	0.00711	0.00504	0.00462	0.00404	0.00426	0.00683	0.01255	0.00629	0.00659	0.01022	0.00721	0.00707	0.00735	0.00411	0.25862	0.25991
ные отношения на обычный свинец)	±1σ	0.54841	0.36286	0.51089	0.19571	0.20784	0.27144	0.29496	0.36133	0.34049	0.35051	0.37788	0.26817	0.37890	0.32777	0.19597	0.39451	0.36323	0.27050	0.32142	0.36315	0.25748	0.23674	0.20584	0.21798	0.35027	0.64410	0.32246	0.33785	0.52213	0.36792	0.36207	0.37893	0.21020	0.06954	0.07201
Измеренные (с коррекцией на	$^{207}{ m Pb}/^{235}{ m U}$	0.29077	0.11877	0.24685	0.04391	0.04834	0.08099	0.08142	0.11957	0.11012	0.11568	0.13166	0.07187	0.13178	0.10150	0.04171	0.14210	0.12445	0.06979	0.09953	0.12273	0.06576	0.05635	0.04660	0.04975	0.11306	0.44352	0.09758	0.10614	0.26777	0.12639	0.12209	0.13230	0.04889	3.30855	3 33857
(с корг	±1σ	15.03036	6.13741	12.73918	2.11203	2.31430	3.59668	4.16084	6.09092	5.42585	5.72577	6.65635	3.52139	6.68947	5.03897	2.11428	7.24931	6.15238	3.57915	4.85935	6.14899	3.28289	2.85369	2.28118	2.49657	5.72392	22.46142	4.89881	5.34038	13.38945	6.31808	6.10698	6.69979	2.35426	0.00087	080000
	²⁰⁷ Pb/ ²⁰⁶ Pb	0.00171	0.00106	0.00156	0.00071	0.00074	0.00094	0.00089	0.00106	0.00104	0.00106	0.00112	0.00086	0.00112	0.00099	0.00069	0.00116	0.00110	0.00083	0.00099	0.00109	0.00082	0.00077	0.00072	0.00073	0.00104	0.00222	0.00097	0.00101	0.00165	0.00110	0.00108	0.00112	0.00074	0.09279	0.09316
U/Th		1.53	1.24	1.82	3.76	2.17	1.63	9.07	0.91	1.81	0.79	2.28	2.32	2.97	1.81	3.03	5.50	2.55	2.79	1.30	1.46	3.55	1.98	3.39	3.17	0.98	2.18	1.50	1.37	4.20	2.07	3.24	7.80	5.08	1.02	0.57
Точка анализа		U17-16-2-16	U17-16-2-17	U17-16-2-19	U17-16-2-20	U17-16-2-21	U17-16-2-22	U17-16-2-23	U17-16-2-24	U17-16-2-25	U17-16-2-27	U17-16-2-28	U17-16-2-29	U17-16-2-30	U17-16-2-31	U17-16-2-32	U17-16-2-33	U17-16-2-34	U17-16-2-35	U17-16-2-37	U17-16-2-38	U17-16-2-41	U17-16-2-42	U17-16-2-43	U17-16-2-44	U17-16-2-45	U17-16-2-46	U17-16-2-47	U17-16-2-48	U17-16-2-49	U17-16-2-51	U17-16-2-53	U17-16-2-56	U17-16-2-57	U17-16-3-40	1117-16-3-41
		101	102	103	104	105	106	107	108	109	110	111	112	113	114	115	116	117	118	119	120	121	122	123	124	125	126	127	128	129	130	131	132	133	134	135

 Таблица 1. Окончание

 Table 1. Ending

lα		18	18	15	17	18	18	18	19	18	15	18	18	19	15	18	18	17	17	18	19	19	18	19	17	19	17	18	18	17	18	18
CA		1460	1489	9//	1602	1507	1612	1502	1546	1331	2804	1511	1502	1501	2729	1463	1493	1806	1904	1509	1556	1174	1507	1470	1848	1152	2062	1447	1324	1756	1471	1500
	±1σ	27	28	15	30	28	30	28	29	25	48	28	28	28	47	28	28	33	35	28	30	22	28	28	34	22	37	27	25	32	27	28
свинец)	206 Pb /238U	1459	1492	9//	1605	1504	1617	1506	1547	1331	2801	1513	1504	1499	2727	1464	1495	1808	1906	1510	1555	1174	1502	1471	1846	1152	2060	1446	1324	1756	1469	1504
ін лет ычный	±1σ	16	17	Ξ	17	17	18	17	18	16	70	17	17	17	70	17	17	18	19	17	19	15	16	18	18	15	19	16	15	18	16	17
Возраст, млн лет (с коррекцией на обычный свинец)	207 Pb /235U	1459	1490	922	1604	1505	1615	1504	1546	1331	2802	1512	1503	1500	2728	1464	1494	1807	1905	1510	1555	1174	1504	1471	1847	1152	2061	1447	1324	1756	1470	1502
коррек	±1σ	18	18	70	17	18	18	18	19	18	15	18	18	19	15	18	18	17	17	18	19	19	18	19	17	19	17	18	18	17	18	18
o)	207 Pb /206 Pb	1460	1489	9//	1602	1507	1612	1502	1546	1331	2804	1511	1502	1501	2729	1463	1493	1806	1904	1509	1556	1174	1507	1470	1848	1152	2062	1447	1324	1756	1471	1500
	±1σ	0.00531	0.00547	0.00267	0.0059	0.00549	0.00603	0.00549	0.00578	0.00481	0.0114	0.00555	0.00551	0.00555	0.01103	0.00536	0.00550	0.00677	0.00725	0.00553	0.00585	0.00417	0.00548	0.00544	0.00693	0.00409	0.00787	0.00526	0.00476	0.00656	0.00535	0.00553
г инец)	206 Pb /238U	0.25397	0.26033	0.12794	0.28269	0.26285	0.28511	0.26314	0.27115	0.22935	0.54413	0.26445	0.26268	0.26176	0.5265	0.25501	0.26109	0.32368	0.34402	0.26403	0.27286	0.19974	0.2624	0.25635	0.33155	0.19569	0.37651	0.25145	0.22808	0.31313	0.25586	0.26269
енные отношения ей на обычный свинец)	±1σ	0.06814	0.07299	0.02412	0.08105	0.07211	0.08668	0.07176	0.08226	0.05752	0.31179	0.07325	0.07255	0.07542	0.28791	0.06950	0.07305	0.10365	0.11914	0.07253	0.08497	0.04577	0.07124	0.07353	0.10822	0.04459	0.13879	0.06671	0.05607	0.09835	0.06881	0.07385
Измеренные эрекцией на с	207 Pb /235U	3.20912	3.34018	1.14749	3.85161	3.40382	3.90586	3.40005	3.58623	2.70969	14.80046	3.43333	3.39403	3.37928	13.68053	3.22662	3.35724	4.92770	5.52826	3.42309	3.62699	2.17721	3.39790	3.25619	5.16469	2.11029	6.61347	3.15638	2.68519	4.63638	3.25138	3.39096
Измер (с коррекци	±1σ	0.00086	0.00000	0.00061	0.00093	0.00088	0.00097	0.00088	9600000	0.00081	0.00185	0.00089	0.00089	0.00092	0.00177	0.00087	0.00000	0.00104	0.00111	0.00089	0.00099	0.00074	0.00088	0.00091	0.00106	0.00074	0.00119	0.00086	0.00080	0.00101	0.00087	0.00000
	²⁰⁷ Pb/ ²⁰⁶ Pb	0.09164	0.09306	0.06505	0.09882	0.09392	0.09936	0.09371	0.09593	0.08569	0.19728	0.09416	0.09371	0.09363	0.18846	0.09177	0.09326	0.11042	0.11655	0.09403	0.09641	0.07906	0.09392	0.09213	0.11298	0.07821	0.12740	0.09104	0.08539	0.10739	0.09217	0.09362
U/Th		1.08	1.05	1.63	1.66	1.21	06.0	1.11	06.0	1.25	2.97	0.78	0.78	0.89	1.47	1.03	1.17	1.57	1.40	1.38	0.57	7.61	1.22	0.38	3.96	3.83	2.61	1.26	4.26	2.13	0.80	1.09
Точка анализа		U17-16-3-42	U17-16-3-43	U17-16-3-45	U17-16-3-46	U17-16-3-47	U17-16-3-48	U17-16-3-49	U17-16-3-50	U17-16-3-51	U17-16-3-52	U17-16-3-53	U17-16-3-54	U17-16-3-55	U17-16-3-56	U17-16-3-57	U17-16-3-58	U17-16-3-59	U17-16-3-60	U17-16-3-62	U17-16-3-63	U17-16-3-64	U17-16-3-65	U17-16-3-66	U17-16-3-67	U17-16-3-68	U17-16-3-69	U17-16-3 <i>-</i> 70	U17-16-3-71	U17-16-3 <i>-</i> 72	U17-16-3-73	U17-16-3-74
	 :i :i	136	137	138	139	140	141	142	143	144	145	146	147	148	149	150	151	152	153	154	155	156	157	158	159	160	161	162	163	164	165	166

 Примечание. СА – значение конкордантного возраста (Concordia Age). Note. СА – concordant age value.

LITHOSPHERE (RUSSIA) volume 25 No. 5 2025

раннепротерозойского возраста: 1800.8-3500 млн лет (Синдерн и др., 2006; Ронкин и др., 2007; Краснобаев и др., 2019б). Однако нельзя исключить возможность влияния и более удаленных питающих провинций. Об этом свидетельствуют датировки циркона в интервалах 996-1029, 1079-1110, 1447-1557 и 1573-1666 млн лет (см. табл. 2), источник которых не выявлен среди пород местной питающей провинции или слабо проявлен. Источниками циркона с указанными возрастами могли быть магматические комплексы Свеко-Норвежского орогена северо-западной части Восточно-Европейской платформы. Источником детритового циркона архейского возраста, кроме пород тараташского комплекса, также могли быть кристаллические породы Волго-Уралии (Романюк и др., 2013; Маслов и др., 2018а).

Ранее уточнить состав и возраст источников кластики для куккараукской свиты и местоположение области сноса позволила SHRIMP-датировка 713.6±6.1 млн лет (Краснобаев и др., 2019а) по циркону из гранитной гальки куккараукских конгломератов в разрезе по руч. Агарды, правому притоку р. Инзер (см. рис. 1, точка 1), свидетельствующая о том, что в вендское время в области сноса происходил размыв гранитоидных пород, близких по возрасту к гранитам Мазаринского массива (710–740

млн лет (Краснобаев и др., 2012)) и Барангуловского габбро-гранитного комплекса (725 \pm 5 млн лет (Краснобаев и др., 2007)), расположенных в северной части зоны Уралтау (см. рис. 1, точка 5) и восточнее (в современных координатах) конгломератов куккараукской свиты с датированным цирконом из гранитной гальки (Сергеева и др., 2019).

Две трети полученных U-Th-Pb (LA-ICP-MS) датировок детритовых цирконов из песчаников басинской свиты (пр. U17-16) образуют несколько популяций в возрастных границах (1416—1666 млн лет (70 зерен) и 1070—1370 млн лет (33 зерна)), включающих вещественно-структурные комплексы нижнего и среднего рифея соответственно. Треть полученных датировок (2661—3203 млн лет (15 зерен) и 1756—2190 млн лет (47 зерна)) имеют архейский и раннепротерозойский возраст (см. табл. 2).

Интересно отметить тот факт, что среди розовых зерен преобладает популяция циркона архейского и раннепротерозойского возраста (46%) в отличие от бледно-розовх (21%) и бесцветными (12%) разностей. Бесцветные зерна циркона имеют преимущественно раннерифейский возраст (64%), а бледнорозовые зерна – ранне- и среднерифейский (71%).

Таким образом, значительная часть U-Th-Pb датировок цирконов из песчаников басинской свиты

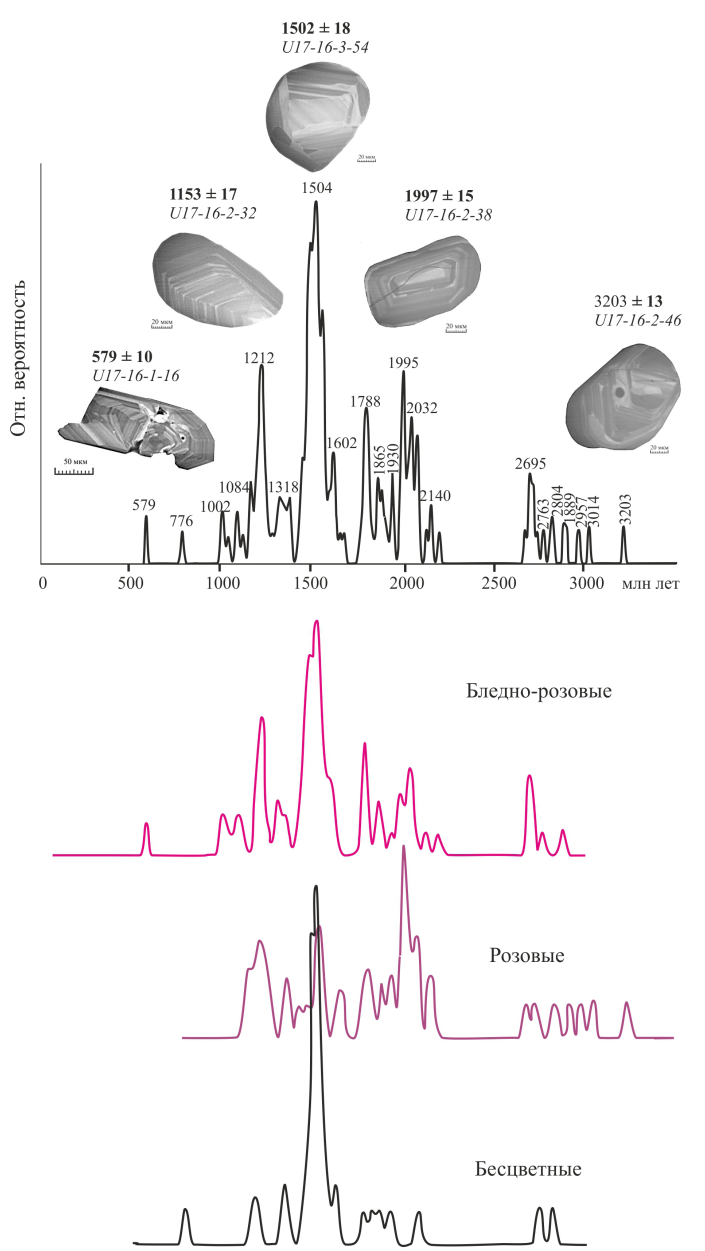
Таблица 2. Результаты датирования детритовых цирконов из песчаников басинской свиты (пр. U17-16)

Table 2. Results of dating detrital zircons from sandstones of the Basu Formation (sample U17-16)

Пик максим.		ал популяций (кол-во трех разновидностей		Кристаллические комплексы потенциальных областей сноса
возраста**	U17-16-2, розовый	U17-16-1, бледно-розовый	U17-16-3, бесцветный	(возраст, млн лет)
_	_	579*	_	Туфы, вендский вулканизм
_		_	776*	Игонинский (707–732)
1002	_	996–1029 (3)	_	Свеко-Норвежский (900–1220)
1084	_	1079–1110 (3)	_	
1163	1153–1183 (3)	(1187, 1191)*	(1152, 1174)*	
1212	1203–1227 (4)	1200–1234 (8)	_	
1318	(1250, 1271)*	1292–1313 (3)	1324*	Машакский (1350-1386)
_	(1367, 1370)*	(1342,1354)*	1331*	Бердяушский (1360-1410)
_	1435*	(1416, 1432, 1438)*	_	Губенский (1370)
1504	1477–1551 (5)	1458–1557(32)	1447–1556 (19)	Ахмеровский (1380-1410)
1602	(1644, 1666)*	1573–1621 (6)	(1602, 1612)*	
1788	(1794, 1802)*	1772–1794 (6)	(1756, 1806)*	Навышский (1750)
1865	(1824, 1874)*	1854–1874 (3)	1848*	Свекофенский (1750–2100),
1930	1889–1934 (3)	1929–1979 (3)	1904*	тараташский (1800–3500)
1995	1989–2000 (6)	(1987, 2015)*	_	
2032	2022–2074 (6)	2022–2062 (5)	2062*	
_	(2142, 2148)*	(2120, 2190)*	_	Волго-Уральский-Сарматский
2695	(2661, 2707)*	2683–2705 (4)	2729*	(2100–3300),
_	(2816–3203)*	(2763, 2874)*	2804*	тараташский (1800–3500)

Примечание. *Единичные зерна, не образующие популяции. **Максимум вероятности возраста (2σ) на кривой относительной плотности вероятности.

Note. *Single grains that do not form a population. **Maximum age probability (20) on the relative probability density curve.



отвечает возрасту цирконов местных уральских источников: магматических (вулканогенных и интрузивных) образований рифея и метаморфических пород Тараташского архей-нижнепротерозойского комплекса (см. табл. 2), так и более удаленных питающих провинций. Источниками циркона с датировкой 996—1029 млн лет могли быть магматические комплексы гренвильского (950—1220 млн лет) Свеко-Норвежского орогена северо-западной части Восточно-Европейской платформы. Устойчивое доминирование детритового циркона этой достаточно удаленной от Южного Урала области сноса отмечено ранее для пород укской свиты позднего рифея, подстилающих вендские образования в регионе (Зайцева и др., 2022). Попу-

2000

2500

3000 млн лет

500

1000

1500

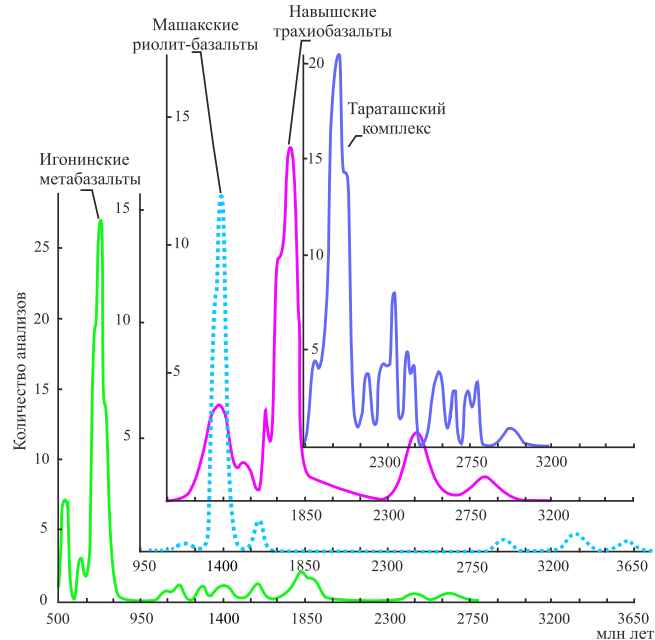


Рис. 4. Графики относительной плотности вероятности распределения U-Th-Pb возрастов детритового циркона из песчаников басинской свиты: суммарный и для трех разновидностей (бледнорозовые, розовые и бесцветные) кристаллов (а) и цирконов из вулканитов рифея и пород тараташского комплекса (б) (Краснобаев и др., 2019б).

Fig. 4. Relative probability density plots of U-Th-Pb ages of detrital zircon from sandstones of the Basu Formation: total and for three types (pale pink, pink and colorless) of crystals (a) and zircons from Riphean volcanics and rocks of the Taratash complex (δ) (Krasnobaev et al., 2019δ).

ляция обломочных зерен циркона с датировками 1140–1230 млн лет установлена и в базальных горизонтах каратауской серии – бирьянской подсвите зильмердакской свиты (Маслов и др., 2018а) – и широко присутствует в позднедокембрийских прогибах центральной и западной частей Восточно-Европейской платформы (Зайцева и др., 2023; Paszkowski et al., 2019, 2021). Такой масштаб предполагает, что транспортировка обломочного материала из удаленной Свеко-Норвежской области сноса могла осуществляться крупной трансконтинентальной рекой (Пучков, 2003).

Иные представления о питающей провинции для пород ашинской серии предложены на основе палеотектонических построений, в которых в неопротерозое (когда Балтика была частью Родинии) рядом с Южно-Уральской частью Балтики размещался Квинслендский край Австралии (Кузнецов и др., 2012). Эти предположения опирались на сходство результатов КS-теста возрастов детритового циркона из песчаников ашинской серии и одновоз-

растных кварцито-песчаников комплекса Кап Ривер Австралии. По мнению указанных авторов, это означает, что Квинслендский край Австралии был восточным континентальным бортом, который поставлял цирконовую кластику в ашинский палеобассейн.

Датировка 579 млн лет детритового циркона из песчаников басинской свиты близка к таковой (572–577 млн лет) цирконов из туфовых прослоев, заключенных в осадках басинской свиты (Разумовский и др., 2020; Рязанцев и др., 2022, 2023), что позволяет в качестве еще одного дополнительного источника сноса для басинских песчаников рассматривать пирокластический материал эксплозивной вулканической деятельности в период формирования рассматриваемых отложений.

Другим важным источником детритового циркона для песчаников басинской свиты могли быть осадочные образования, выведенные на довендскую поверхность размыва на Южном Урале и сопредельной части Волго-Уральской области. В этом случае определение источников цирконовой кластики, участвующей в осадочном процессе на протяжении нескольких циклов седиментации, представляет значительные трудности из-за сложности восстановления степени рециклинга цирконов и связанной с этим возможной потерей цирконами первичной информации (Краснобаев, 2019б). Таким образом, осадочные породы также могли быть источниками цирконов с датировками, не отвечающими времени проявления известных магматических событий: навышский, машакский и игонинский эпизоды магматической деятельности (Puchkov et al., 2021)

ВЫВОДЫ

Значительная часть полученных U-Th-Pb (LA-ICP-MS) датировок цирконов находится в возрастном диапазоне 1416—1794 и 1152—1370 млн лет, цирконы могли поступать как из местных уральских источников, включая магматические образования рифея (Бердяушский, Ахмеровский, Барангуловский, Мазаринский и другие интрузии и вулканогенные комплексы: навышский трахибазальтовый, машакский риолит-базальтовый и игонинский метабазальтовый), так и из более удаленных питающих провинций Волго-Уралии, Сарматии и Фенноскандии.

Цирконы с датировками 996—1029 млн лет среди уральских источников сноса для басинской свиты не отмечены. Потенциальным источником детритовых цирконов этого временного интервала могут быть магматические породы гренвильского (950—1220 млн лет) Свеко-Норвежского орогена, которые рассматривались и ранее для отложений укской свиты позднего рифея, подстилающих вендские толщи в регионе (Зайцева и др., 2022).

По мнению других исследователей (Кузнецов и др., 2012), источником обломочного материала для ашинской серии мог быть метаморфический комплекс Кап Ривер Австралии. Обсуждать правомерность такого толкования, как и других вариантов источников сноса для осадков басинской свиты, используя только возрастные параметры детритовых цирконов двух проб: U17-16 (данная статья) и 09-027 (Кузнецов и др., 2012), отобранных из одного разреза, в рамках данной статьи преждевременно.

Источником наиболее древней популяция цирконов архейского (2683–3203 млн лет) и раннепротерозойского (1802–2190 млн лет) возраста могли быть как метаморфические породы тараташского комплекса, возрастные границы которого 1800–3500 млн лет (Синдерн и др., 2006; Ронкин и др., 2007; Краснобаев и др., 2019б), так и кристаллические породы Волго-Уралии.

Для циркона с датировкой 579 млн лет, близкой к таковой (572-577 млн лет (Разумовский и др., 2020; Рязанцев и др., 2022, 2023)) цирконов из туфовых прослоев в басинской свите, источником мог быть материал вулканических извержений, происходивших в это время, по мнению ряда исследователей, на Урале и Тимане (Карта ..., 1983), Уральской окраине платформы (Хераскова и др., 2023), крайнем юге зоны Уралтау (Самыгин и др., 2010). Происхождение пепловых прослоев в верхневендских отложениях Восточно-Европейской платформы и ее восточной и северо-восточной периферии Н.Б. Кузнецов с соавторами (2017) связывают с Волынским внутриплитным магматическим событием, а не с вулканическими процессами в Протоуральско-Тиманском орогене.

Цирконы с датировками, не отвечающими времени проявления известных магматических событий в регионе: навышский, машакский и игонинский эпизоды магматической деятельности (Puchkov et al., 2021), отнесены нами к цирконам из осадочных пород, выведенных на довендскую поверхность размыва на Южном Урале и сопредельной части Волго-Уральской области. Однако детритовые цирконы в осадочном процессе существуют на протяжении нескольких циклов седиментации, поэтому использование только возрастных параметров недостаточно для определения осадочных комплексов, послуживших источником обломочного материала, в том числе и для песчаников басинской свиты.

В целях получения дополнительной характеристики источников цирконовой кластики в изученном образце датирование проведено для трех разновидностей циркона по окраске (розовые, бледно-розовые и бесцветные). Установить связь между разными типами циркона по окраске и их источниками не получилось, так как окраска цирконов из магматических комплексов, предполагае-

мых источников цирконовой кластики, в публикациях не указывалась. Однако выявлена некоторая особенность детритовых цирконов по окраске: среди розовых разностей количество цирконов архейского и раннепротерозойского возраста составляет половину всех зерен, тогда как в выборках бледнорозовых и бесцветных разновидностей количество наиболее древнего циркона не достигает и четверти от общего количества зерен в выборке. Возможно, интенсивность окраски циркона из басинской свиты может служить косвенным признаком более древнего возраста обломочных зерен.

Результаты U-Th-Pb (LA-ICP-MS) изотопно-геохронологических исследований более представительной выборки детритовых цирконов из песчаников басинской свиты в разрезе по руч. Кукраук уточнили и дополнили полученную ранее (Кузнецов и др., 2012) информацию о возрасте пород в области сноса, послуживших источниками цирконовой кластики для песчаников басинской свиты. Дальнейшие изотопно-геохронологические и геохимические исследования цирконовой кластики из отложений венда Урала и Восточно-Европейской платформы, а также цирконов из пород предполагаемых питающих провинций позволят восстановить палеогеографию осадочных бассейнов в регионе.

СПИСОК ЛИТЕРАТУРЫ

- Беккер Ю.Р. (1968) Позднедокембрийская моласса Южного Урала. Л.: Недра, 160 с.
- Беккер Ю.Р. (1988) Молассы докембрия. Л.: Недра, 288 с. Вотяков С.Л., Сергеева Н.Д., Крохалев В.Я., Чернышев Ю.В. (1985) Спектроскопические свойства цирконов верхнедокембрийских образований Южного Урала. *Ежегодник-1984*. Свердловск: ИГГ УНЦ АН СССР, 33-36.
- Гарань М.И (1946) Возраст и условия образования древних свит западного склона Южного Урала. М.: Госгеолиздат, 51 с.
- Гражданкин Д.В., Марусин В.В., Меерт Дж., Крупенин М.Т., Маслов А.В. (2011) Котлинский горизонт на Южном Урале. *Докл. АН*, **440**(2), 201-206.
- Зайцева Т.С., Горохов И.М., Ивановская Т.А., Семихатов М.А., Кузнецов А.Б., Мельников Н.Н., Аракелянц М.М., О.В.Яковлева (2008) Мессбауэровские характеристики, минералогия и изотопный возраст (Rb-Sr и K-Ar) верхнерифейских глауконитов укской свиты Южного Урала. Стратиграфия. Геол. корреляция, 14(3), 3-24.
- Зайцева Т.С., Кузнецов А.Б., Горожанин В.М., Горохов И.Н., Ивановская Т.А., Константинова Г.В. (2019) Основание венда на Южном Урале: Rb-Sr возраст глауконитов бакеевской свиты. Стратиграфия. Геол. корреляция, 27(5), 82-96. DOI: 10.31857/S0869-592X27582-96
- Зайцева Т.С., Кузнецов А.Б., Сергеева Н.Д., Адамская Е.В., Плоткина Ю.В. (2022) U-Th-Pb-возраст детритового циркона из оолитовых известняков укской свиты: следы гренвильских источников сноса в позднем рифее Южного Урала. Докл. АН. Науки о Земле, 503(2),

- 90-96. DOI: 10.31857/S2686739722040193
- Зайцева Т.С., Кузьменкова О.Ф., Кузнецов А.Б., Ковач В.П., Гороховский Б.М., Плоткина Ю.В., Адамская Е.В., Лапцевич А.Г. (2023) U-Th-Рb возраст детритовых цирконов из рифейских отложений Волыно-Оршанского палеопрогиба (Беларусь). Стратиграфия. Геол. корреляция, 31(5), 42-62. DOI: 10.31857/S0869592X23050101
- Карта докембрийских формаций Русской платформы и ее складчатого обрамления (со снятыми фанерозойскими отложениями) 1: 2 500 000. Объяснительная записка. (1983). (Под ред. Ю.Р. Беккер). Л.: ВСЕГЕИ, 172 с.
- Келлер Б.М. (1973) Тектоническая история и формации верхнего докембрия. *Итоги науки. Сер. Общ. геология*. М.: ВИНИТИ, 119 с.
- Ковач В.П., Котов А.Б., Гладкочуб Д.П., Толмачева Е.В., Великославинский С.Д., Гороховский Б., Подковыров В., Загорная Н.Ю., Плоткина Ю.В. (2018) Возраст и источники метапесчаников чинейской подсерии (Удоканская серия, Алданский щит): результаты U-Th-Pb геохронологического (LA-ICP-MS) и Nd изотопного изучения. Докл. АН. Науки о Земле, 482(2), 177-180. DOI: 10.31857/S086956520003184-5
- Козлов В.И. (1982) Верхний рифей и венд Южного Урала. М.: Наука, 128 с.
- Краснобаев А.А. (1986) Циркон как индикатор геологических процессов. М.: Наука, 147 с.
- Краснобаев А.А., Вотяков С.Л., Грамолин А.Б., Боткунов А.И., Илупин И.П., Саматов М.В. (1981) Электронно-оптические свойства цирконов из кимберлитов. *Геохимия*, **4**, 571-577.
- Краснобаев А.А., Вотяков С.Л., Крохалев В.Я. (1988) Спектроскопия цирконов (свойства, геологические приложения). М.: Наука, 150 с.
- Краснобаев А.А., Козлов В.И., Пучков В.Н., Ларионов А.Н., Нехорошева А.Г., Бережная Н.Г. (2007) Полигенно-полихронная цирконология и проблема возраста Барангуловского габбро-гранитного комплекса. Докл. АН, 416(2), 241-246.
- Краснобаев А.А., Козлов В.И., Пучков В.Н., Родионов Н.В., Нехорошева А.Г., Кисеева К.Н. (2008) Ахмеровский гранитный массив представитель мезопротерозойского интрузивного магматизма на Южном Урале. Докл. АН, 418(2), 241-246.
- Краснобаев А.А., Козлов В.И., Пучков В.Н., Сергеева Н.Д., Бушарина С.В. (2012) Новые данные по цирконовой геохронологии аршинских вулканитов (Южный Урал). *Литосфера*, (4), 127-140.
- Краснобаев А.А., Попов В.С., Беляцкий Б.В. (2011) Хронологические и генетические соотношения интрузивных пород Бердяушского плутона (Южный Урал) в свете новых U-Pb и Sm-Nd изотопных данных. Зап. РМО, Ч. СХХХХ, 2, 59-73.
- Краснобаев А.А., Пучков В.Н., Сергеева Н.Д., Бушарина С.В. (2019а) U-Pb (SHRIMP) возраст цирконов из гранитоидной гальки конгломератов куккараукской свиты ашинской серии венда Алатауского антиклинория (Южный Урал). Докл. АН, **486**(5), 598-602. DOI: doi.org/10.31857/S0869-56524865598-602
- Краснобаев А.А., Пучков В.Н., Сергеева Н.Д., Бушарина С.В. (2019б) Природа цирконовой кластики в песчаниках рифея и венда Южного Урала. *Георесурсы*, **21**(1), 15-25. DOI: https://doi.org/10.18599/grs.2019.1.15-25

- Кузнецов Н.Б., Белоусова Е.А., Крупенин М.Т., Романюк Т.В., Маслов А.В. (2017) Результаты геохронологического и изотопно-геохронологического изучения циркона из туфов сылвицкой серии (западный склон Среднего Урала): к происхождению пепловых прослоев в вендских толщах Восточно-Европейской платформы. Докл. АН, 473(3), 341-345. DOI: 10.7868/S0869565217090183
- Кузнецов Н.Б., Романюк Т.В., Шацилло А.В., Орлов С.Ю., Голованова И.В., Данукалов К.Н., Ипатьева И.С. (2012) Первые результаты массового U/Pb-изотопного датирования (LA-ICP-MS) детритовых цирконов из ашинской серии Южного Урала: палеографические и палеотектонические аспекты. Докл. АН, 447(1), 73-79.
- Кухаренко А.А. (1961) Минералогия россыпей. М.: Госгеолтехиздат, 316 с.
- Ляхович В.В. (1981) Методы сепарации акцессорных минералов. М.: Недра, 86 с.
- Маслов А.В., Гареев Э.З., Подковыров В.Н. (2010) Песчаники верхнего рифея и венда Башкирского мегантиклинория. *Литология и полезн. ископаемые*, **3**, 320-338.
- Маслов А.В., Ерохин Ю.В., Гердес А., Ронкин Ю.Л., Иванов К.С. (2018а) Первые результаты U–Pb LA-ICP-MS-изотопного датирования обломочных цирконов из аркозовых песчаников бирьянской подвиты зильмердакской свиты верхнего рифея (Южный Урал). Докл. АН, 482(5), 558-561.
- Маслов А.В., Ковалев С.Г., Пучков В.Н., Сергеева Н.Д. (2018б) Аршинская серия рифея Южного Урала: к вопросу о геодинамической природе породных ассоциаций. Докл. АН, **480**(1), 64-68.
- Маслов А.В., Кузнецов А.Б., Крамчанинов А.Ю., Шпакович Л.В., Гареев Э.З., Подковыров В.Н., Ковалев С.Г. (2022) Источники сноса верхнедокембрийских глинистых пород Южного Урала: результаты геохимических и Sm-Nd изотопно-геохимических исследований. Стратиграфия. Геол. корреляция, 30(1), 33-54.
- Олли А.И. (1948) Древние отложения западного склона Урала. Саратов: СГУ, 414 с.
- Пучков В.Н. (2010) Геология Урала и Приуралья (актуальные вопросы стратиграфии, тектоники, геодинамики и металлогении). Уфа: ДизайнПолиграфСервис, 280 с.
- Пучков В.Н. (2003) Есть ли основания предполагать наличие в восточной Балтике реликтов пассивной окраины Родинии? *Магматизм на пассивных окраинах Родинии*. Мат-лы Междунар. конф. (в рамках проекта МПГК-440). Уфа: ИГ УНЦ РАН, 5-6.
- Пучков В.Н. (2000) Палеогеодинамика Южного и Среднего Урала. Уфа: Даурия, 146 с.
- Разумовский А.А., Новиков И.А., Рязанцев А.В., Рудько С.В., Кузнецов Н.Б., Яшунский Ю.В. (2020) Древнейшие вендские ископаемые Евразии: U-Рьизотопный возраст басинской свиты (ашинская серия, Южный Урал). Докл. АН. Науки о Земле, 495(2), 3-8. DOI 10.31857/S2686739720120099
- Романюк Т.В., Маслов А.В., Кузнецов Н.Б., Белоусова Е.А., Ронкин Ю.Л., Крупенин М.Т., Горожанин В.М., Горожанина Е.Н., Серегина Е.С. (2013) Первые результаты U/Pb LA-ICP-MS датирования детритных цирконов из верхнерифейских песчаников Башкирского антиклинория (Южный Урал). Докл. АН, 452(6), 642-645.

- Ронкин Ю.Л., Матуков Д.И., Пресняков С.Л., Лепехина Е.Н., Лепехина О.П., Попова О.Ю. (2005) "In situ" U-Pb SHRIMP датирование цирконов нефелиновых сиенитов Бердяушского массива (Южный Урал). Литосфера, (1), 135-142.
- Ронкин Ю.Л., Синдерн С., Маслов А.В., Матуков Д.И., Крамм У., Лепихина О.П. (2007) Древнейшие (3.5 млрд лет) цирконы Урала: U-Pb (SHRIMP-II) и Т_{DM} ограничения. *Докл. АН*, **415**(5), 651-657.
- Рязанцев А.В., Разумовский А.А., Новиков И.А., Куртукова А.И., Каныгина Н.А., Яшунский Ю.В., Дубенский А.С., Шешуков В.С. (2023) Возраст вулканических туфов в разрезах басинской и зиганской свит ашинской серии венда (эдиакария) на Южном Урале: результаты U–Th–Pb (SIMS и LA–ICP–MS) датирования акцессорного циркона. Докл. АН, 508(1), 68-78. DOI:10.31857/S2686739722602149
- Рязанцев А.В., Разумовский А.А., Новиков И.А., Куртукова А.И., Яшунский Ю.В. (2022) Вулканические туфы в разрезах ашинской серии венда (эдиакария) на Южном Урале и их возраст: результаты U-Th-Pb (SIMS) датирования акцессорного циркона. Возраст и корреляция магматических, метаморфических, осадочных и рудообразующих процессов. VIII Росс. конф. по изотопной геохронологии, 125-126.
- Самыгин С.Г., Белова А.А., Рязанцев А.В., Федотова А.А. (2010) Фрагменты вендской конвергентной окраины на Южном Урале. *Докл. АН*, **432**(5), 644-649.
- Семихатов М.А., Кузнецов А.Б., Чумаков Н.М. (2015) Изотопный возраст границ общих стратиграфических подразделений верхнего протерозоя (рифея и венда) России: эволюция взглядов и современная оценка. Стратиграфия. Геол. корреляция, 23(6), 16-27.
- Сергеева Н.Д. (2014) Минералогические особенности отложений венда Южного Урала. Тр. Южно-Уральского государственного природного заповедника, 161-176.
- Сергеева Н.Д. (1986) Сопоставление вендских отложений западного крыла Башкирского мегантиклинория (Южный Урал) и юго-восточной окраины Русской плиты по акцессорным минералам. Докембрий и палеозой Южного Урала, 24-36.
- Сергеева Н.Д., Пучков В.Н., Краснобаев А.А., Козлова О.В., Ратов А.А. (2019) Ашинская серия венда: орогенный комплекс тиманид на Южном Урале. *Геол. вестиник*, 1, 3-34. DOI: http://doi.org/10.31084/2619-0087-2019-1-1.
- Синдерн С., Ронкин Ю.Л., Хетцель Р., Щульте Б.А., Крамм У., Маслов А.В., Лепихина О.П., Попова О.Ю. (2006) Тараташский и Александровский метаморфические комплексы (Южный Урал): Т-t ограничения. *Ежегодник-2005*. Екатеринбург: ИГГ УрО РАН, 322-330.
- Хераскова Т.Н., Волож Ю.А., Антипов М.П., Быкадоров В.А., Патина И.С., Сапожников Р.Б. (2023) Строение зоны сочленения микроконтинентов Сарматия, Волго-Уралия и Фенноскандия в составе фундамента Восточно-Европейской платформы. *Литосфера*, **23**(3), 309-324. DOI: https://doi.org/10.24930/1681-9004-2023-23-3-309-324
- Шатский Н.С. (1960) Принципы стратиграфии позднего докембрия и объем рифейской группы. Стратиграфия позднего рифея и кембрия. Стратиграфия позднего рифея и кембрия. Международный геоло-

- гический конгресс; 21-я сессия. Докл. советской геологии, 5-15.
- Andersson U., Neymark L.A., Billstrom K. (2002) Petrogenesis of the Mesoproterozoic (Subjotnian) rapakivi complexes of central Sweden: implications from U–Pb zircon ages, Nd, Sr and Pb isotopes. *Trans. R. Soc. Edinburgh. Earth. Sci.*, **92**, 201-228.
- Cappelletti G., Ardizzone S., Fermo P. Gilardoni S. (2005) The influence of iron content on the promotion of the zircon structure and the optical properties of pink coral pigments. *J. Europ. Ceramic Soc.*, **25**(6), 911-917.
- Corfu F., Hanchar J.M., Hoskin P.W.O., Kinny P. (2003) Atlas of zircon textures. *Rev. Mineral. Geochem.*, 53(1), 469-500. DOI: 10.2113/0530469
- Gehrels G.E. (2012) Detrital zircon U-Pb geochronology: current methods and new opportunities. Tectonics of Sedimentary Basins: Recent Advances. (Eds C. Busby, A. Azor). Chichester, UK: Wiley-Blackwell, 47-62.
- Gehrels G.É. (2014) Detrital zircon U-Pb geochronology applied to tectonics. *Annu. Rev. Earth Planet. Sci.*, **42**, 127-149.
- Hoskin P.W.O., Schaltegger U. (2003) The composition of zircon and igneous and metamorphic petrogenesis. *Rev. Mineral. Geochem.*, 53(1), 27-62. DOI: 10.2113/0530027
- Nicholas J.V. (1967) Origin of the luminescence in natural zircon. *Nature*, **215**(5109), 1476.
- Paszkowski M., Budzyń B., Mazur St., Slama J., Shumlyanskyy L., Środoń J., Dhuime B., Kędzior A., Liivamägi S., Pisarzowska A. (2019) Detrital zircon U-Pb and Hf constraints on provenance and timing of deposition of the Mesoproterozoic to Cambrian sedimentary cover of the East European Craton, Belarus. *Precambr. Res.*, 331, 1-19.
- Paszkowski M., Budzyń B., Mazur St., Slama J., Środoń J., Ian L. Millar, Shumlyanskyy L., Kędzior A., Liivamägi S., (2021) Detrital zircon U-Pb and Hf constraints on provenance and timing of deposition of the Mesoproterozoic to Cambrian sedimentary cover of the East European Craton,part II: Ukraine. *Precambr. Res.*, 362, 106282
- Puchkov V.N., Ernst R E., Ivanov K S. (2021) The importance and difficulties of identifying mantle plumes in orogenic belts: An example based on the fragmented large igneous province (LIP) record in the Ural fold belt. *Precambr. Res.*, 106186, 21-24.
- Puchkov V.N., Krasnobaev A.A., Sergeeva N.D. (2014) The New Data on Vanaphy of the Riphean Stratotype in the Southern Urals, Russia. *J. Geosci. Environ. Protect.*, **2**, 108-116. DOI: http://dx.doi.org/10.4236/gep.2014.23015
- Rubatto, D. (2017) Zircon: The metamorphic mineral. *Rev. Mineral. Geochem.*, 83(1), 261-295. DOI: 10.2138/rmg.2017.83.9
- Spencer C.J., Kirkland C.L., Taylor R.J.M. (2016) Strategies towards statistically robust interpretations of in situ U–Pb zircon geochronology. *Geosci. Front.*, 7(4), 581-589. DOI: 10.1016/j.gsf.2015.11.006
- Stiebler M., Steudtner C., Kemmler-Sack S. (1992) Praseodymium zircon yellow. *Physica Status Solidi*, **132**(2), 495-500.
- Van Achterbergh E., Ryan C.G., Jackson S.E., Griffin W.L. (2001) LA-ICP-MS in the Earth Sciences Data reduction software for LA-ICP-MS, Appendix 3. Laser Ablation-ICP-MS in the Earth Sciences. (Ed. P. Sylvester). Can. Mineral. Assoc. Short Course Handbook, 29, 239-243.

- Vermeesch P. (2018) IsoplotR: a free and open toolbox for geochronology. *Geosci. Front.*, **9**, 1479-1493.
- Willner A.P., Sindern S., Metzger R., Ermolaeva T., Kramm U., Puchkov V., Kronz A. (2003) Typology and single grain U/Pb ages of detrital zircons from Proterozoic sandstones in the SW Urals (Russia): early time marks at the eastern margin of Baltica. *Precambr. Res.*, **124**(1), 1-20.

REFERENCES

- Andersson U., Neymark L.A., Billstrom K. (2002) Petrogenesis of the Mesoproterozoic (Subjotnian) rapakivi complexes of central Sweden: implications from U–Pb zircon ages, Nd, Sr and Pb isotopes. *Trans. R. Soc. Edinburgh. Earth. Sci.*, **92**, 201-228.
- Bekker Yu.R. (1968) Late Precambrian molasse of the Southern Ural. L., Nedra Publ., 160 p. (In Russ.)
- Bekker Yu.R. (1988) Molasses of the Precambrian. L., Nedra Publ., 288 p. (In Russ.)
- Cappelletti G., Ardizzone S., Fermo P. Gilardoni S. (2005) The influence of iron content on the promotion of the zircon structure and the optical properties of pink coral pigments. *J. Europ. Ceram. Soc.*, **25**(6), 911-917.
- Corfu F., Hanchar J.M., Hoskin P.W.O., Kinny P. (2003) Atlas of zircon textures. *Rev. Mineral. Geochem.*, 53(1), 469-500. DOI: 10.2113/0530469
- Garan M.I. (1946) Age and conditions of formation of ancient formation of the western slope of the Southern Urals. Moscow, Gosgeolizdat Publ., 51 p. (In Russ.)
- Gehrels G.E. (2014) Detrital zircon U-Pb geochronology applied to tectonics. *Annu. Rev. Earth Planet. Sci.*, **42**, 127-149.
- Gehrels G.E. (2012) Detrital zircon U-Pb geochronology: current methods and new opportunities. Tectonics of Sedimentary Basins: Recent Advances. (Eds C. Busby, A. Azor Chicheste). UK, Wiley-Blackwell, 47-62.
- Grazhdankin D.V., Marusin V.V., Meert Dzh., Krupenin M.T., Maslov A.V. (2011) Kotlin horizon in the Southern Urals. *Dokl. Earth Sci.*, **440**(2), 201-206. (In Russ.)
- Hoskin P.W.O., Schaltegger U. (2003) The composition of zircon and igneous and metamorphic petrogenesis. *Rev. Mineral. Geochem.*, 53(1), 27-62. DOI: 10.2113/0530027
- Keller B.M. (1973) Tectonic history and formations of the top Precambrian. *Itogi Nauki i Tekhniki. Ser. Obshchaya Geologiya*. Moscow, VINITI Publ. 120 p. (In Russ.)
- Kheraskova T.N., Volozh Ju.A., Antipov M.P., Bykadorov V.A., Patina I.S., Sapozhnikov R.B. (2023) The structure of the junction zone of the Sarmatia, Volga-Uralian and Fennoscandia microcontinents as part of the foundation of the East European Platform. *Litosphere (Russia)*, **23**(3), 309-324. (In Russ.) https://doi.org/10.24930/1681-9004-2023-23-3-309-324
- Kovach V.P., Kotov A.B., Gladkochub D.P., Tolmacheva E.V., Velikoslavinsky S.D, Gorokhovsky B.M., Podkovyrov V.N., Zagornaya N.Yu., Plotkina Yu.V. (2018).
 Age and Sources of Metasandstone of the Chiney Subgroup (Udokan Group, Aldan Shield): Results of U-Th-Pb Geochronological (LA-ICP-MS) and Nd Isotope Study. *Dokl. Earth Sci.*, 482(1), 1138-1141. DOI: 10.1134/S1028334X18090155
- Kozlov V.I. (1982) The Upper Riphean and the Vendian of the Southern Urals. Moscow, Nauka Publ., 128 p. (In Russ.)
- Krasnobaev A.A. (1986) Zircon as an indicator of geolog-

- ical processes. Moscow, Nauka Publ., 147 p. (In Russ.)
- Krasnobaev A.A., Kozlov V.I., Puchkov V.N., Larionov A.N., Nekhorosheva A.G., Berezhnaya N.G. (2007) Polygenic-polychronous zirconology and the age problem of the Barangul gabbro-granite complex. *Dokl. Earth Sci.*, **416**(2), 241-246. (In Russ.)
- Krasnobaev A.A., Kozlov V.I., Puchkov V.N., Rodionov N.V., Nekhorosheva A.G., Kiseeva K.N. (2008) Akhmerov granite massif is a representative of Mesoproterozoic intrusive magmatism in the Southern Urals. *Dokl. Earth Sci.*, **418**(2), 241-246. (In Russ.)
- Krasnobaev A.A., Kozlov V.I., Puchkov V.N., Sergeeva N.D., Busharina S.V. (2012) New data on the zircon geochronology of the Arsha volcanics (Southern Urals). *Litosphere (Russia)*, (4), 127-140. (In Russ.)
- Krasnobaev A.A., Popov V.S., Belyatskii B.V. (2011) Chronological and genetic correlations of intrusive rocks of the Berdyaus Pluto (Southern Urals) in the light of new U-Pr and Sm-Nd isotope data. *Zapiski RMO*, Ch. CXXXX, 2, 59-73. (In Russ.)
- Krasnobaev A.A., Puchkov V.N., Sergeeva N.D., Busharina S.V. (2019a) U-Pb (SHRIMP) age of zircons from granitoid pebbles of conglomerates of the Kukkarauk formation of the Asha series of the Vendian Alatau anticlinorium (Southern Urals). *Dokl. Earth Sci.*, **486**(5), 598-602. (In Russ.) doi.org/10.31857/S0869-56524865598-602
- Krasnobaev A.A., Puchkov V.N., Sergeeva N.D., Busharina S.V. (2019b) The nature of zircon clusters in the Riphean and Vendian sandstones of the Southern Urals. *Georesursy*, **21**(1), 15-25. (In Russ.) DOI: https://doi.org/10.18599/grs.2019.1.15-25
- Krasnobaev A.A., Votyakov S.L., Gramolin A.B., Botkunov A.I., Ilupin I.P., Samatov, M.V. (1981) Electron-optical properties of zircon from kimberlite. *Geokhimiya*, (4), 571-577. (In Russ.)
- Krasnobaev A.A., Votyakov S.L., Krokhalev V.Ya. (1988) Zircon spectroscopy (properties, geological applications). Moscow, Nauka Publ., 150 p. (In Russ.)
- Kukharenko A.A. (1961) Mineralogy of placers. Moscow, Gosgeolizdat Publ., 316 p. (In Russ)
- Kuznetsov N.B., Romanyuk T.V., Shatsillo A.V., Orlov S.Ju., Golovanova I.V., Danukalov K.N., Ipat'eva I.S. (2012) The first results of mass U/Pb isotope dating (LA-ICP-MS) of detrital zircons from the Asha series of the Southern Urals: paleographic and paleotectonic aspects. *Dokl. Earth Sci.*, 447(1), 73-79. (In Russ.)
- Lyakhovich V.V. (1981) Methods of separation of accessory minerals. Moscow, Nedra Publ., 86 p. (In Russ.)
- Map of the Precambrian formations of the Russian Platform and its folded margin (with Phanerozoic deposits removed) 1:2,500,000. Explanatory note. (1983) (Ed. Yu.R. Becker). Leningrad, VSEGEI Publ., 172 p. (In Russ.)
- Maslov A.V., Erokhin Yu.V., Gerdes A., Ronkin Yu.L., Ivanov K.S. (2018a) First results of U-Pb LA-ICP-MS isotope dating of detrital zircons from arkosic sandstones of the Biryan subformation of the Zilmerdak suite of the Upper Riphean (Southern Urals). *Dokl. Akad. Nauk*, **482**(5), 558-561. (In Russ.)
- Maslov A.V., Gareev E.Z., Podkovyrov V.N. (2010) Upper Riphean and Vendian sandstones of the Bashkir megaanticlinorium. *Litologitya i Polezn. Iskopaemye*, **3**, 320-338. (In Russ.)
- Maslov A.V., Kovalev S.G., Puchkov V.N., Sergeeva N.D. (2018b) Arsha Series of the Riphean of the Southern

- Urals: on the geodynamic nature of rock associations. *Dokl. Akad. Nauk*, **480**(1), 64-68. (In Russ.)
- Maslov A.V., Kuznetsov A.B., Kramchaninov A.Yu., Shpakovich L.V., Gareev E.Z., Podkovyrov V.N., Kovalev S.G. (2022) Provenance sources of Upper Precambrian clayey rocks of the Southern Urals: results of geochemical and Sm-Nd isotope-geochemical studies. *Stratigr. Geol. Korrel.*, 30(1), 33-54. (In Russ.)
- Nicholas J.V. (1967) Origin of the luminescence in natural zircon. *Nature*, **215**(5109), 1476.
- Olli A.I. (1948) Ancient deposits of the western slope of the Urals. Saratov, SSU Publ., 414 p. (In Russ.)
- Paszkowski M., Budzyń B., Mazur St., Slama J., Shumlyanskyy L., Środoń J., Dhuime B., Kędzior A., Liivamägi S., Pisarzowska A. (2019) Detrital zircon U-Pb and Hf constraints on provenance and timing of deposition of the Mesoproterozoic to Cambrian sedimentary cover of the East European Craton, Belarus. *Precambr. Res.*, 331, 1-19.
- Paszkowski M., Budzyń B., Mazur St., Slama J., Środoń J., Ian L. Millar, Shumlyanskyy L., Kędzior A., Liivamägi S. (2021) Detrital zircon U-Pb and Hf constraints on provenance and timing of deposition of the Mesoproterozoic to Cambrian sedimentary cover of the East European Craton,part II: Ukraine. *Precambr. Res.*, **362**, 106282.
- Puchkov V.N. (2003) Are there grounds to assume the presence of relics of the passive margin of Rodinia in the eastern Baltic? *Magmatism on the passive margins of Rodinia*. Proc. of the Int. Conf. (within the framework of the project IPGK-440). Ufa, IG UNTs RAN Publ., 5-6.
- Puchkov V.N. (2010) Geology of the Urals and Cis-Urals (actual problems of stratigraphy, tectonics, geodynamics and metallogeny). Ufa, DizainPoligrafServis Publ., 280 p. (In Russ.)
- Puchkov V.N. (2000) Paleogeodynamics of the Southern and Middle Urals. Ufa, Dauria Publ., 146 p. (In Russ.)
- Puchkov V.N., Ernst R.E., Ivanov K.S. (2021) The importance and difficulties of identifying mantle plumes in orogenic belts: An example based on the fragmented large igneous province (LIP) record in the Ural fold belt. *Precambr. Res.*, 106186, 21-24.
- Puchkov V.N., Krasnobaev A.A., Sergeeva N.D. (2014) The New Data on Stratigraphy of the Riphean Stratotype in the Southern Urals, Russia. *J. Geosci. Environ. Protect.*, **2**, 108-116. DOI: http://dx.doi.org/10.4236/gep.2014.23015
- Razumovskii A.A., Novikov I.A., Ryazancev A.V., Rud'ko S.V., Kuznetsov N.B., Jashunskii Yu.V. (2020) The oldest Vendian fossils of Eurasia: U-Pb-isotopic age of the Basu Formation (Asha series, Southern Urals). *Dokl. Earth Sci.*, 495(2), 3-8. (In Russ.) DOI 10.31857/S2686739720120099
- Romanyuk T.V., Maslov A.V., Kuznetsov N.B., Belousova E.A., Ronkin Yu.L., Krupenin M.T., Gorozhanin V.M., Gorozhanina E.N., Seregina E.S. (2013).
 First results of U/Pb LA-ICP-MS dating of detrital zircons from Upper Riphean sandstones of the Bashkirian Anticlinorium (Southern Urals). *Dokl. Earth Sci.*, 452(6), 642-645. DOI: 10.1134/S1028334X13060244
- Ronkin Y.L., Matukov D.I., Presnyakov S.L., Lepekhina E.N., Lepekhina O.P., Popova O.Yu. (2005) "In situ" U-Pb SHRIMP dating of zircons of nepheline syenites of the Berdyaus massif (Southern Urals). *Lithosphere (Russia)*, (1), 135-142. (In Russ.)
- Ronkin Y.L., Sindern S., Maslov A.V., Matukov D.I., Kramm U., Lepekhina O.P. (2007) The oldest (3.5 bil-

- lion years old) zircons of the Urals: U-Pb (SHRIMP-II) and T_{DM} restrictions. *Dokl. Earth Sci.*, **415**(5), 651-657. (In Russ.)
- Rubatto D. (2017) Zircon: The metamorphic mineral. Rev. Miner. Geochem., 83(1), 261-295. DOI: 10.2138/ rmg.2017.83.9
- Ryazantsev A.V., Razumovskii A.A., Novikov I.A., Kurtukova A.I., Kanygina N.A., Yashunskii Ju.V., Dubenskii A.S., Sheshukov V.S. (2023) The age of volcanic tuffs in sections of the Basu and Zigan Formations of the Asha Vendian series (Ediacarian) in the Southern Urals: results of U–Th–Pb (SIMS and LA–ICP–MS) dating of accessory zircon. *Dokl. Earth Sci.*, **508**(1), 68-78. (In Russ.) DOI:10.31857/S2686739722602149
- Ryazantsev A.V., Razumovskii A.A., Novikov I.A., Kurtukova A.I., Yashunskii Ju.V. (2022) Volcanic tuffs in sections of the Asha Vendian (Ediacarian) series in the Southern Urals and their age: results of U-Th-Pb (SIMS) dating of accessory zircon. Age and correlation of magmatic, metamorphic, sedimentary, and ore-forming processes. VIII Russ. Conf. on Isotope Geochronology, 125-126. (In Russ.)
- Samygin S.G., Belova A.A., Ryazantsev A.V., Fedotova A.A. (2010) Fragments of the Vendian convergent margin in the Southern Urals. *Dokl. Earth Sci.*, **432**(5), 644-649. (In Russ.)
- Semikhatov M.A., Kuznetsov A.B., Chumakov N.M. (2015) Isotopic age of the boundaries of common stratigraphic units of the Upper Proterozoic (Riphean and Vendian) of Russia: evolution of views and modern assessment. *Stratigr. Geol. Korrel.*, **23**(6), 16-27. (In Russ.)
- Sergeeva N.D. (1986) Comparison of Vendian deposits of the western wing of the Bashkirian meganticlinorium (Southern Urals) and the southeastern margin of the Russian plate by accessory minerals. *Precambrian and Paleozoic of the Southern Urals*, 24-36. (In Russ.)
- Sergeeva N.D. (2014) Mineralogical features of Vendian deposits of the Southern Urals. *Tr. Yuzhno-Ural'skogo Gos. Prirodnogo Zapovednika*, 161-176. (In Russ.)
- Sergeeva N.D., Puchkov V.N., Krasnobaev A.A., Kozlova O.V., Ratov A.A. (2019) Asha Vendian series: Timanid orogenic complex in the Southern Urals. *Geol. Vestnik*, **1**, 3-34. (In Russ.) DOI: http://doi.org/10.31084/2619-0087-2019-1-1.
- Shatskii N.S. (1960) Principles of Late Precambrian stratigraphy and the volume of the Riphean group. *Stratigraphy of the Late Riphean and Cambrian*. Int. Geol. Congr.; 21st sess. Dokl. Soviet Geol., 5-15. (In Russ.)
- Sinder S., Ronkin Yu.L., Hetzel R., Schulte B.A., Kramm U., Maslov A.V., Lepikhina O.P., Popova O.Yu. (2006) Taratash and Aleksandrovsky metamorphic complex-

- es (Southern Urals): T-t constraints. *Ezhegodnik -2005*. Ekaterinburg, IGG UrO RAN Publ., 322-330. (In Russ.)
- Spencer C.J., Kirkland C.L., Taylor R.J.M. (2016) Strategies towards statistically robust interpretations of in situ U–Pb zircon geochronology. *Geosci. Front.*, 7(4), 581-589. DOI: 10.1016/j.gsf.2015.11.006
- Stiebler M., Steudtner C., Kemmler-Sack S. (1992) Praseodymium zircon yellow. *Physica Status Solidi*, **132**(2), 495-500.
- Van Achterbergh E., Ryan C.G., Jackson S.E., Griffin W.L. (2001) LA-ICP-MS in the Earth Sciences Data reduction software for LA-ICP-MS, Appendix 3. Laser Ablation-ICP-MS in the Earth Sciences. (Ed. P. Sylvester) Can. Mineral. Assoc. Short Course Handbook, 29, 239-243.
- Votyakov S.L., Sergeeva N.D., Krokhalev V.Ya., Chernyshev Yu.V. (1985) Spectroscopic properties of zircons of the Upper Precambrian formations of the Southern Urals. *Ezhegodnik-1984*. Sverdlovsk, IGG UNTs AN SSSR Publ., 33-36. (In Russ.)
- Vermeesch P. (2018) IsoplotR: a free and open toolbox for geochronology. *Geosci. Front.*, **9**, 1479-1493.
- Willner A.P., Sindern S., Metzger R., Ermolaeva T., Kramm U., Puchkov V., Kronz A. (2003) Typology and single grain U/Pb ages of detrital zircons from Proterozoic sandstones in the SW Urals (Russia): early time marks at the eastern margin of Baltica. *Precambr. Res.*, 124(1), 1-20.
- Zaitseva T.S., Gorokhov I.M., Ivanovskaya T.A., Semikhatov M.A., Kuznetsov A.B., Mel'nikov N.N., Arakelyants M.M., Yakovleva O.V. (2008) Messbauer characteristics, mineralogy, and isotopic age (Rb-Sr and K-Ar) Upper Nerife glauconites of the Uksky Formation of the Southern Urals. Stratigr. Geol. Korrel., 14 (3), 3-24.
- Zaitseva T.S., Kuz'menkova O.F., Kuznetsov A.B., Kovach V.P., Gorokhovskii B.M., Plotkina Yu.V., Adamskaya E.V., Laptsevich A.G. (2023) U-Th-Pb age of detrital zircons from the Riphean deposits of the Volyn-Orsha paleoprobe (Belarus). *Stratigr. Geol. Korrel.*, **31**(5), 42-62. (In Russ.) DOI: 10.31857/S0869592X23050101
- Zaitseva T.S., Kuznetsov A.B., Gorozhanin V.M., Gorokhov I.N., Ivanovskaya T.A., Konstantinova G.V. (2019) The foundation of the Vendian in the Southern Urals: Rb-Sr age of the glauconites of the Bakeyevo Formation. *Stratigr. Geol. Korrel.*, **27**(5), 82-96. (In Russ.) DOI: 10.31857/S0869-592X27582-96
- Zaitseva T.S., Kuznetsov A.B., Sergeeva N.D., Adamskaya E.V., Plotkina Yu.V. (2022) U-Th-Pb-age of detrital zircon from oolitic limestones of the Uk Formation: traces of Grenville sources of demolition in the Late Riphean of the Southern Urals. *Dokl. Earth Sci.*, 503(2), 90-96. (In Russ.) DOI: 10.31857/S2686739722040193